



Effect of Salicylic Acid and Sodium Selenite on Growth and Photochemical Attributes of Coneflower (*Echinacea angustifolia*) Under Salinity Stress

Hamed Adeli¹ | Sepideh Kalateh Jari² | Marjan Diyanat³

1. Department of Horticultural Science and Agronomy, Science and Research Branch, Islamic Azad University, Tehran, Iran. E-mail: hamed.adeli@srbiau.ac.ir
2. Corresponding Author, Department of Horticultural Science and Agronomy, Science and Research Branch, Islamic Azad University, Tehran, Iran. E-mail: kalatehjari@srbiau.ac.ir
3. Department of Horticultural Science and Agronomy, Science and Research Branch, Islamic Azad University, Tehran, Iran. E-mail: m.diyanat@srbiau.ac.ir

Article Info**ABSTRACT**

Article type:
Research Article

Article history:

Received 19 October 2023
Received in revised form
30 October 2024
Accepted 24 November 2024
Published online 30 December 2024

Objective: Salinity is one of the most important abiotic stresses that reduces the production of agricultural products. The use of growth stimulating compounds in order to reduce the effects of environmental stress in plants is of particular importance. The present study was conducted to investigate the effect of salicylic acid and sodium selenite on the growth, physiological and biochemical characteristics of coneflower (*Echinacea angustifolia*) in 2023 at the commercial greenhouse of ornamental plants in Alborz province under salinity stress conditions.

Methods: The factors studied in the research include salinity at three levels (zero, 100 and 200 mM sodium chloride) and spraying with salicylic acid and selenium selenite at five levels (control, 5 and 10 mg/l of sodium selenite and 0.5 and 1 mM salicylic acid), conducted factorially in the form of a basic completely randomized design in 3 replications.

Results: The results of the research showed that 200 mM of salinity stress caused a significant decrease in the fresh weight of aerial parts (32%), dry weight of roots (27%), total chlorophyll (22%), and relative water content of leaves (16%), and leaf potassium (28%), but caused an increase in ion leakage (11%), catalase enzyme activity (82%), superoxide dismutase enzyme activity (1.37 times), and sodium leaf (2.19 times). Foliar application of bio-stimulants, especially 1 mM salicylic acid, increased the fresh weight (13.07%), root dry weight (13.74%), shoot fresh weight (15.59%), chlorophyll a, b, and total content (13.13%, 14.29%, and 12.08% respectively), relative leaf water content (6.95%), and essential oil yield (27.59%). The interactive treatment of 100 mM salinity and 1 mM salicylic acid had the highest phenol and flavonoid content and essential oil percentage. The highest shoot weight and essential oil yield were obtained in the treatment without stress with 1 mM salicylic acid.

Conclusion: Taken together, applying biological stimulants, especially 1 mM salicylic acid, will be recommended under salinity stress conditions in coneflower.

Keywords:
Biostimulant
Coneflower
Essential oil yield
Total phenol

Cite this article: Adeli, H., Kalateh Jari, S., & Diyanat, M. (2024). Effect of Salicylic Acid and Sodium Selenite on Growth and Photochemical Attributes of Coneflower (*Echinacea angustifolia*) Under Salinity Stress. *Journal of Crops Improvement*, 26 (4), 925-948. DOI: <https://doi.org/10.22059/jci.2024.366323.2859>



© The Author(s).

DOI: <https://doi.org/10.22059/jci.2024.366323.2859>

Publisher: University of Tehran Press.



تأثیر سالیسیلیک اسید و سلتات سدیم بر رشد و ویژگی‌های فیتوشیمیایی سرخارگل (*Echinacea angustifolia*) در شرایط تنفس شوری

حامد عادلی^۱ | سپیده کلاته‌جاری^{۲*} | موجان دیانت^۳

۱. گروه علوم باغبانی و زراعی، واحد علوم و تحقیقات، دانشگاه آزاد اسلامی، تهران، ایران. رایانه: hamed.adeli@srbiau.ac.ir

۲. نویسنده مسئول، گروه علوم باغبانی و زراعی، واحد علوم و تحقیقات، دانشگاه آزاد اسلامی، تهران، ایران. رایانه: kalatehjari@srbiau.ac.ir

۳. گروه علوم باغبانی و زراعی، واحد علوم و تحقیقات، دانشگاه آزاد اسلامی، تهران، ایران. رایانه: m.diyant@srbiau.ac.ir

اطلاعات مقاله

چکیده

نوع مقاله: مقاله پژوهشی

هدف: شوری، یکی از مهم‌ترین تنفس‌های غیرزیستی است که تولید محصولات کشاورزی را کاهش می‌دهد. استفاده از ترکیبات محرك رشد بهمنظور کاهش اثرات تنفس‌های محیطی در گیاهان اهمیت خاصی دارد. از این رو تحقیق حاضر بهمنظور بررسی اثر سالیسیلیک اسید و سلتات سدیم بر رشد، خصوصیات فیزیولوژیکی و بیوشیمیایی سرخارگل (*Echinacea angustifolia*) در سال ۱۴۰۱ در گلخانه تجاري گیاهان زیستي در استان البرز در شرایط تنفس شوری انجام شد.

روش پژوهش: فاکتورهای مردمطالعه در پژوهش، شامل شوری در سه سطح (صفرا، ۱۰۰ و ۲۰۰ میلی‌مولار کلرید سدیم) و محلول‌پاشی با سالیسیلیک اسید و سلتیمسلتات‌سلنیم در پنج سطح (شاهد، ۵ و ۱۰ میلی‌گرم در لیتر سلتات‌سدیم و ۰/۵ و ۱ میلی‌مولار سالیسیلیک اسید) به صورت فاکتوریل در قالب طرح پایه کاملاً تصادفی در ۳ تکرار صورت گرفت.

یافته‌ها: نتایج پژوهش نشان داد که ۲۰۰ میلی‌مولار تنفس شوری سبب کاهش معنی‌دار وزن تراندام هوایی (۳۳ درصد)، وزن خشک ریشه (۲۷ درصد)، کلروفیل کل (۲۲ درصد)، محتوای نسبی آب برگ (۱۶ درصد) و پتاسیم برگ (۲۸ درصد) گردید، اما سبب افزایش نشت یونی (۱۱ درصد)، فعالیت آنزیم کاتالاز (۸۲ درصد)، فعالیت آنزیم سوپراکسید دیسموتاز (۱/۳۷ برابر) و سدیم برگ (۲/۱۹ برابر) شد. محلول‌پاشی با محرك‌های زیستی بهویژه ۱ میلی‌مولار سالیسیلیک اسید سبب افزایش وزن تر ریشه (۱۳/۰۷ درصد)، وزن خشک ریشه (۱۳/۷۴ درصد) و وزن تر اندام هوایی (۱۵/۵۹ درصد)، کلروفیل a، b و کل (به ترتیب ۱۳/۱۳، ۱۳/۲۹ و ۱۲/۰۸ درصد)، محتوای نسبی آب برگ (۶/۹۵ درصد)، عملکرد انسانس (۲۷/۵۹ درصد) شد. تیمار اثر مقابل شوری ۱۰۰ میلی‌مولار و سالیسیلیک اسید یک میلی‌مولار دارای بیشترین محتوای فتل، فلاونوئید و درصد انسانس بودند و بیشترین وزن اندام هوایی گیاه و عملکرد انسانس در تیمار بدون تنفس با سالیسیلیک اسید یک میلی‌مولار به دست آمد.

نتیجه گیری: در مجموع استفاده از محرك‌های زیستی و بهویژه سالیسیلیک اسید ۱ میلی‌مولار در شرایط تنفس شوری در سرخارگل مورد پیشنهاد خواهد بود.

کلیدواژه‌ها:

سرخارگل

عملکرد انسانس

فولوں کل

محرك زیستی

استناد: عادلی، حامد؛ کلاته‌جاری، سپیده و دیانت، موجان (۱۴۰۳). تأثیر سالیسیلیک اسید و سلتات سدیم بر رشد و ویژگی‌های فیتوشیمیایی سرخارگل (*Echinacea angustifolia*) در شرایط تنفس شوری. بهرگی کشاورزی، ۲۶ (۴)، ۹۴۸-۹۲۵.

DOI: <https://doi.org/10.22059/jci.2024.366323.2859>



© نویسنده‌ان

ناشر: مؤسسه انتشارات دانشگاه تهران.

۱. مقدمه

سرخارگل با نام علمی *Echinacea angustifolia* گیاهی علفی و چندساله از خانواده گل‌ستاره‌ای می‌باشد (تیوب^۱ و همکاران، ۲۰۲۱). در گذشته از این گیاه برای درمان مارگزیدگی، بیماری‌های له و دهان، سرماخوردگی و سرفه استفاده می‌شد. همچنین با توجه به اهمیت ضدپیروزی، ضد قارچی و ضدبacterیایی آن اهمیت جهانی دارد و مواد مؤثره آن رابطه مستقیمی با تقویت سیستم ایمنی بدن دارد (بورلو-نگی^۲ و همکاران، ۲۰۲۲). در مطالعه‌ای که بر روی خصوصیات مورفوفیزیولوژیک و فیتوشیمیابی گیاه سرخارگل در اثر تنفس شوری و کاربرد سیلیسیم انجام شد، این گیاه نسبت به شوری تقریباً حساس بود (زارع و همکاران، ۱۳۹۷)، با این وجود تعیین مرز مقاومت گیاه سرخارگل در شرایط تنفس شوری و کاربرد سلتات سدیم و سالیسیلیک اسید تاکنون صورت نگرفته و این مطالعه حائز اهمیت خواهد بود.

شوری یکی از مهم‌ترین عوامل تنفس زای غیرزنده است (امیری‌پور^۳ و همکاران، ۲۰۲۱). برخی از پژوهش‌گران بیان داشتند که شوری از طریق ایجاد سمیت در خاک و بر هم زدن تعادل مواد غذایی محلول در خاک رشد و نمو گیاهان را تحت تأثیر قرار می‌دهد (پریهر^۴ و همکاران، ۲۰۱۵). کاهش اثرات تنفس شوری، می‌تواند تأثیر مثبتی بر افزایش کمی و کیفی محصولات کشاورزی داشته باشد (امیری‌پور^۵ و همکاران، ۲۰۲۱). مطالعات بر روی عکس العمل گیاهان در برابر تنفس شوری نشان داده است که گیاهان هنگام تنفس افزایش معنی‌داری در رادیکال آزاد اکسیژن (ROS)، سوپر اکسید، رادیکال هیدروکسید و پراکسیدهیدروژن از خود نشان می‌دهند (کیشاوات^۶ و همکاران، ۲۰۲۲).

استفاده از ترکیبات یا تنظیم‌کننده‌های رشد به صورت بروزنا در بسیاری از موارد در کاهش اثرات تنفس‌های محیطی مؤثر بوده است (حسینی‌فرد^۷ و همکاران، ۲۰۲۲). یکی از ترکیباتی که در ایجاد تحمل در برابر تنفس شوری در گیاه مؤثر است، سالیسیلیک اسید می‌باشد که نقش حفاظتی در برابر اثرات منفی تنفس دارد (رشید^۸ و همکاران، ۲۰۲۰). سالیسیلیک اسید در تنظیم فرایندهای فیزیولوژیک مختلف مثل رشد، تکامل گیاه، فتوستنتز و جوانه‌زنی نقش محوری ایفا می‌کند. باعث طویل‌شدن سلول‌ها و همچنین تقسیم سلولی می‌شود که این کار با همکاری سایر تنظیم‌کننده‌ها از جمله اکسین صورت می‌گیرد. سالیسیلیک اسید گسترش تقسیم و مرگ سلولی را تنظیم کرده و در واقع بین رشد و پیری تعادل ایجاد می‌کند (دهستانی-اردکانی^۹ و همکاران، ۲۰۲۲). در شرایط تنفس، سالیسیلیک اسید نقش مهمی در افزایش مقاومت گیاه با بهبود خصوصیات آنتی‌اکسیدانی در گیاه ایفا می‌کند (رشید^{۱۰} و همکاران، ۲۰۲۰).

سلنیم یک ریزمغذی ضروری با خواص آنتی‌اکسیدانی، ضدسرطانی و ضدپیروزی برای سلامت موجودات مختلف است (حسن‌الزمان^{۱۱} و همکاران، ۲۰۲۰) و نقش محافظتی و آنتی‌اکسیدانی در کاهش تنفس اکسیداتیو ناشی از دما، خشکسالی، شوری، استرس مکانیکی، اشعه ماوراء بنفش، عوامل بیماری‌زا و فلزات سنگین دارد. همچنین، سلنیم با افزایش ظرفیت آنتی‌اکسیدانی گیاه از طریق افزایش فعالیت آنتی‌اکسیدان‌های آنزیمی و آنتی‌اکسیدان‌های غیرآنزیمی

1. Tyub

2. Burlou-Nagy

3. Amiripour

4. Parihar

5. Amiripour

6. Reactive Oxygen Species

7. Kesawat

8. HosseiniFard

9. Rasheed

10. Dehestani-Ardakani

11. Rasheed

12. Hasanuzzaman

تنش را بهبود می‌بخشد. سلنات‌سدیم فرم مرسوم کود سلنیم است که به تازگی برای تعدیل تنش‌های محیطی در گیاهان استفاده می‌شود (کریمی^۱ و همکاران، ۲۰۲۰).

از آنجاکه تاکنون گزارشی در راستای کاربرد سالیسیلیک‌اسید و سلنات‌سدیم در گیاه سرخارگل جهت بهبود اثرات منفی تنش شوری ارائه نشد، پژوهش حاضر به منظور بررسی اثر این ترکیبات بر رشد و ویژگی‌های فیتوشیمیایی سرخارگل در شرایط تنش شوری انجام شد.

۲. پیشنهاد پژوهش

در پژوهشی که با عنوان اثرات محلول‌پاشی سالیسیلیک‌اسید بر صفات مورفو‌فیزیولوژیکی خرفه در شرایط تنش شوری انجام شد، محلول‌پاشی سالیسیلیک‌اسید موجب کاهش اثرات زیان‌بار شوری بر رشد گیاه خرفه گردید (فتحی^۲ و همکاران، ۲۰۱۹). در پژوهشی که به بررسی اثر سالیسیلیک‌اسید بر رشد و پاسخ گیاهان باعی در شرایط تنش شوری پرداخته شد، نقش حمایتی سالیسیلیک‌اسید در شرایط تنش شوری نشان داده شد. تجمع بیشتر پرولین، حفظ سطح سبز و تداوم فتوسترنز به دنبال تیمار سالیسیلیک‌اسید در شرایط شوری از دیگر عواملی هستند که می‌توانند در افزایش رشد گیاهان نقش مؤثری داشته باشند (یانگ^۳ و همکاران، ۲۰۲۳).

فاضلی و همکاران (۱۳۹۶) در پژوهشی اثر تنش شوری (صفر، ۲۵ و ۷۵ میلی‌مولار NaCl) و سالیسیلیک‌اسید (صفر، ۰/۷۵ و ۱/۵ میلی‌مولار) بر برخی شاخص‌های فیزیولوژیک و بیوشیمیایی گیاه سیاه‌دانه را بررسی کردند. نتایج نشان داد تنش شوری کاهش معنی‌دار محتوای نسبی آب برگ و آنتوسیانین و افزایش معنی‌دار نشت یونی، مالون‌دی‌آلدهید، پرولین، فعالیت آنزیم‌های کاتالاز و آسکوربیات پراکسیداز را باعث شد، درحالی‌که تیمار سالیسیلیک‌اسید موجب افزایش محتوای نسبی آب برگ، مالون دی‌آلدهید، آنتوسیانین، پرولین، فعالیت آنزیم‌های کاتالاز و آسکوربیات پراکسیداز و کاهش نشت یونی شد.

کاربرد سلنیم منجر به کاهش اثرات منفی تنش شوری در گیاه بادرنجویه شد. کاربرد سلنیم می‌تواند منجر به کاهش آسیب‌های تنش نمک یا شوری مانند توقف رشد گیاه، تخریب رنگیزه‌های فتوسترنزی و افزایش جذب مواد معدنی شود (قاسمیان^۴ و همکاران، ۲۰۲۱). در پژوهشی اثر نانوذرات سلنیم (۲۵ میلی‌گرم در لیتر) و سیلیکون (۲۰۰ میلی‌گرم در لیتر) و آب اکسیزن (۲۰ نانومول بر لیتر) بر رشد گیاه خیار بررسی شد. نتایج نشان داد که محلول‌پاشی برگی نانوذرات سلنیم به طور واضحی سبب افزایش پارامترهای رشد (ارتفاع و سطح برگ) گیاه شد. نانوذرات سلنیم دارای اثرات به نسبت قوی‌تری نسبت به نانوذرات سلنیم در افزایش خصوصیات آنتی‌اکسیدانی گیاه شدند. استفاده از نانوذرات سیلیسیم همچنین سبب افزایش معنی‌داری در جذب عناصر نیتروژن، فسفر و پتاسیم شد (شالابی^۵ و همکاران، ۲۰۲۱).

در تحقیقی اثر نانوذرات سلنیم (۱۰ و ۵۰ میلی‌گرم در لیتر)، نانوذرات سیلیسیم (۲۰۰ و ۱۰۰۰ میلی‌گرم در لیتر) و نانوذرات مس (۱۰۰ و ۵۰۰ میلی‌گرم در لیتر) بر که خصوصیات کمی و کیفی فلفل در شرایط تنش شوری (۲۵ و ۵۰ میلی‌مولار NaCl) بررسی شد. تنش شوری سبب کاهش محتوای کلروفیل و بتاکاروتن و افزایش فعالیت آنزیم‌های آنتی‌اکسیدانی، فلاونوئید و گلوتاتیون شد. نانوذرات نامبرده سبب افزایش کلروفیل و فعالیت آنزیم کاتالاز، فنل و فلاونوئید میوه گردید (گنزالس-گارسیا^۶ و همکاران، ۲۰۲۱). در بررسی اثر سلنیم بر متابولیت‌های ثانویه و خواص

1. Karimi

2. Fathi

3. Yang

4. Ghasemian

5. Shalaby

6. González-García

آن‌تی اکسیدانی گیاه بادرنجبویه، نتایج نشان داد که غلظت کم سلنیم باعث افزایش خصوصیات رشدی گیاه و بهبود صفات مورفولوژی آن شد (توکلی^۱ و همکاران، ۲۰۲۰).

۳. روشناسی پژوهش

پژوهش حاضر به منظور بررسی اثر سالیسیلیک اسید و سلنات سدیم در شرایط تنفس شوری روی گیاه سرخارگل در سال ۱۴۰۱ در گلخانه تجاری گیاهان زیستی در استان البرز (دارای فتوپریود ۱۶ ساعت روشنایی و ۸ ساعت تاریکی، رطوبت نسبی ۶۵ تا ۸۰ درصد، حداقل دما ۲۹ و حداقل دمای ۱۵ درجه سانتی‌گراد) به صورت فاکتوریل در قالب طرح پایه کاملاً تصادفی در سه تکرار انجام شد. تیمارها شامل شوری در سه سطح (صفرا، ۱۰۰ و ۲۰۰ میلی‌مولا رکلریدسیدیم) و محلول-پاشی با سالیسیلیک اسید و سلنیم سلنات سلنیم در پنج سطح (شاهد، ۵ و ۱۰ میلی‌گرم در لیتر سلنات سدیم و ۰/۵ و ۱ میلی‌مولا ر سالیسیلیک اسید) بود. نشاء‌های چهاربرگی گیاه سرخارگل از پژوهشکده گیاهان دارویی کرج تهیه و در گلدان‌های حاوی خاک زراعی منطقه همراه با خاکبرگ (جدول ۱) کشت شدند.

جدول ۱. ویژگی‌های فیزیکی و شیمیابی خاک گلدان‌ها

مقار	۴۷	۲۷	۲۶	شدن	شدن	هدایت	نیتروژن	فسفر	پتابیم	قابل جذب	قابل جذب	کل	اسیدیته	الکتریکی	پارامتر
	(درصد)	(درصد)	(درصد)	(میلی‌موس)	(میلی‌موس)	(درصد)	(میلی‌گرم در کیلوگرم)	(میلی‌گرم در کیلوگرم)	آلی	آلی	آلی	(درصد)	(درصد)	(درصد)	لای
۰/۵۷	۲۳۸	۱۴/۱	۰/۱۲	۷/۱	۰/۹۹	۰/۹۹	۱۰۰	۲۰۰	۰/۵۷	۰/۵۷	۰/۵۷	۱۴۰	۱۵	۱۶	۱۴۰۱

پس از استقرار نشا در بستر جدید، اولین محلول‌پاشی برگی با سالیسیلیک اسید ۰/۵ و ۱ میلی‌مولا ر سلنات سدیم ۵ و ۱۰ میلی‌گرم در لیتر در سه نوبت ۱۵ روزه و تنش شوری پس از دومین مرحله محلول‌پاشی برگی، با اعمال ۱۰۰ و ۲۰۰ میلی‌مولا کلریدسیدیم و با حجم ۲۰۰ میلی‌لیتر هر سه روز یکبار برای هر گلدان به مدت ۴۰ روز اعمال گردید. به منظور عدم تجمع نمک در گلدان‌ها، پس از هر چهار مرتبه آبیاری با آب شور تمامی گلدان‌ها یکبار با آب معمولی (بدون شوری) آبشویی شدند. در پایان مرحله گله‌ی، گیاهان برداشت و صفات موردنظر ارزیابی شدند (نیکخت و همکاران، ۱۳۹۹).

۳.۱. وزن تو و خشک اندام هوایی و ریشه

وزن تر اندام هوایی و ریشه پس از برداشت با ترازوی دیجیتال^۲ با دقت ۰/۰۱ گرم توزین شد. پس از خشک کردن اندام هوایی و ریشه گیاه به مدت دو هفته در دمای معمولی در شرایط سایه خشک و وزن آن‌ها با ترازوی دیجیتال با دقت ۰/۰۱ گرم به دست آمد (اینبار^۳ و همکاران، ۱۹۹۴).

۳.۲. محتوای کلروفیل برگ

اندازه‌گیری میزان محتوای کلروفیل با روش آرنون^۴ (۱۹۴۹) انجام شد. بدین ترتیب که ابتدا ۰/۱ گرم نمونه برگی گیاهان را در هاون چینی با ۳ میلی‌لیتر استون ۸۰ درصد کاملاً سایده شد و حجم نهایی عصاره به ۱۵ میلی‌لیتر رسید. سپس

1. Tavakoli

2. Digital scale

3. Inbar

4. Arnon

عصاره با استفاده از سانتریفیوژ به مدت ۱۰ دقیقه با سرعت $5000 \times g$ صاف شد. از دستگاه اسپکتروفتومتر (Shimadzu UV-160-کشور ژاپن) برای اندازه‌گیری میزان جذب نمونه‌ها استفاده شد. ابتدا دستگاه با استون ۸۰ درصد صفر شده و سپس میزان جذب عصاره استخراج شده در طول موج‌های ۶۴۵ و ۶۶۳ نانومتر با دستگاه اسپکتروفتومتر قرائت گردید. سپس با استفاده از رابطه‌های زیر کلروفیل a، b و کل محاسبه شد (رابطه‌های ۱ تا ۳).

$$\text{رابطه ۱} = \frac{\text{میلی گرم کلروفیل a}}{\text{میلی گرم کلروفیل b}} = \frac{(12.7 \times A663) - (2.69 \times A645)}{(2.69 \times A645) - (12.7 \times A663)}$$

$$\text{رابطه ۲} = \frac{\text{میلی گرم کلروفیل b}}{\text{میلی گرم کلروفیل a}} = \frac{(4.69 \times A645) - (22.9 \times A663)}{(22.9 \times A663) - (4.69 \times A645)}$$

$$\text{رابطه ۳} = \frac{\text{میلی گرم کلروفیل کل}}{\text{میلی گرم کلروفیل a}} = \frac{(20.2 \times A645) + (8.02 \times A663)}{(8.02 \times A663) + (20.2 \times A645)}$$

در رابطه‌های بالا، A میزان جذب در طول موج موردنظر، V حجم نهایی استون ۸۰ درصد بر حسب میلی لیتر و W اندازه برگ تازه بر حسب گرم است.

۳.۳. اندازه‌گیری سدیم و پتاسیم برگ

مقدار $۰/۳$ گرم از نمونه‌های پودرشده برگ توزین و در کوره با دمای ۵۰۰ درجه سانتی‌گراد به مدت شش ساعت خاکستر و سپس در ۵ میلی‌لیتر محلول اسیدنیتریک ۲ مولار حل شدند. حجم محلول در نهایت با آب دو بار تقطیر به ۲۵ میلی‌لیتر رسانده (رابطه ۴) و با کاغذ صافی و اتمن شماره ۱ صاف شد. سپس سدیم و پتاسیم برگ با دستگاه فلیم‌فتومتری (مدل PFP7 ساخت کمپانی JENWAY - کشور انگلستان) اندازه‌گیری شد (چاپمن^۱ و پرات^۲، ۱۹۶۲).

$$\text{رابطه ۴} = N\% = \frac{A \times N \times 1.4}{W}$$

که در آن، N نرمالیته اسید، A حجم اسید مصرفی و W وزن نمونه می‌باشد.

۳.۴. اندازه‌گیری محتوای نسبی آب برگ (RWC)

برای تعیین RWC، از برگ‌های کامل و توسعه یافته استفاده شد. پس از وزن اولیه برگ، در آب مقطر قرار داده شده و ۲۴ ساعت در دمای ۴ درجه سانتی‌گراد قرار گرفت. سپس وزن اشباع برگ‌ها اندازه‌گیری و ۲۴ ساعت دیگر در آون با دمای ۷۰ درجه سانتی‌گراد قرار گرفته و وزن خشک آن‌ها کدام ثبت گردید و در نهایت RWC با رابطه (۵) محاسبه شد (ریچی^۳ و همکاران، ۱۹۹۰):

$$\text{رابطه ۵} = RWC = \frac{(FW - DW)}{(SW - DW)} \times 100$$

در این رابطه FW وزن تازه برگ، SW وزن اشباع برگ و DW وزن خشک برگ است.

۳.۵. سنجش میزان نشت یونی

مقدار $۰/۲$ گرم از بافت سالم و تازه اندام هوایی گیاه بعد از شستشو با آب مقطر، درون لوله آزمایش درب‌دار قرار داده و ۱۰ میلی‌لیتر آب یون‌گیری شده به آن اضافه گردید. سپس لوله‌های آزمایش را به مدت دو ساعت درون حمام آب گرم با دمای ۳۲ درجه سانتی‌گراد قرار داده و میزان هدایت الکتریکی نمونه‌ها (EC1) با استفاده از EC متر (مدل Winlab Data Windaus - کشور چین) اندازه‌گیری شد. پس از قرار گیری لوله‌های آزمایش در دمای ۱۲۱ درجه سانتی‌گراد به مدت ۲۰ دقیقه در

1. Chapman

2. Pratt

3. Relative water content

4. Ritchie

اتوکلاو و خنک شدن محتوی لوله‌ها تا دمای ۲۵ درجه سانتی‌گراد، میزان هدایت الکتریکی نمونه‌ها (EC2) اندازه‌گیری و با رابطه (۶) درصد نشت یونی محاسبه گردید (بن-حامد^۱ و همکاران، ۲۰۰۷).

$$\text{رابطه } (6) \quad \frac{\text{EC}1}{\text{EC}2} \times 100 = \text{درصد نشت یونی}$$

۶. آنزیم کاتالاز^۲ برگ

برای استخراج آنزیم‌ها نمونه‌های گیاهی در هاون چینی با ازت مایع خرد و به صورت پودر درآمد. سپس ۵/۰ میلی‌لیتر بافر فسفات سدیم با pH معادل ۶ به آن اضافه و با دور ۱۳۰۰۰ سانتریفیوژ گردید. جهت اندازه‌گیری پروتئین کل و فعالیت آنزیم‌های نمونه‌ها، از محلول رویی برداشت شد. برای سنجش فعالیت آنزیم کاتالاز با استفاده از دستگاه اسپکتروفوتومتر Shimadzu UV-160-کشور ژاپن در طول موج ۲۴۰ نانومتر در مدت ۳۰ ثانیه استفاده شد. بافر فسفات سدیم ۲۰ میلی‌مolar با pH معادل ۷ و ۲۰ میکرولیتر هیدروژن پراکساید (H₂O₂) ۳۰ درصد به عنوان پذیرنده الکترون مورد استفاده قرار گرفت. میزان فعالیت کاتالاز بر حسب واحد آنزیمی در میلی‌گرم پروتئین بیان گردید (ماکادام^۳ و همکاران، ۱۹۹۲).

۷. سنجش فعالیت آنزیم سوپر اکسید دیسموتاز (SOD)^۴

فعالیت این آنزیم با قابلیت آن در بازدارندگی واکنش احیایی فتوشیمیابی نیتروبلوترازوکسیلیوم (NBT)^۵ تعیین شد. مخلوط واکنش محتوی بافر فسفات ۵۰ میلی‌مolar با (pH=۷)، میکرومول ۱۳ میلی‌مولا، Na-EDTA ۱/۰ میلی‌مولا، نیتروبلوترازوکسیلیوم ۷۵ میکرومول، ریبوفلاوین ۷۵ میکرومول و مقدار ۱۰۰ میکرولیتر از عصاره بود. در دو لوله آزمایش ۳ میلی‌لیتر از محلول فوق بدون عصاره آنزیمی ریخته، یکی در دستگاه دور از نور و دیگری در حضور نور فلوئورسنت به عنوان شاهد قرار داده شد. پس از ۱۸ دقیقه هر دو دقیقه یکبار جذب محلول در طول موج ۵۶۰ نانومتر با دستگاه اسپکتروفوتومتر Shimadzu UV-160-کشور ژاپن) قرائت شد. این روش براساس تبدیل NBT به فورمازان در حضور نور و تشکیل رنگ می‌باشد. در صورتی که آنزیم سوپر اکسید دیسموتاز در محیط وجود داشت، از انجام واکنش مذکور ممانعت کرده و تشکیل و ظهور رنگ را کاهش داد. تفاوت بین جذب هر عصاره پس از ۱۸ دقیقه و جذب مخلوط بدون آنزیم نشان‌دهنده بازداشت واکنش خود به خود به تشکیل فورمازان توسط سوپر اکسید دیسموتاز بود. فعالیت این آنزیم بر حسب واحد آنزیمی به ازای میلی‌گرم پروتئین محاسبه شد (جیانوپولیتیس^۶ و رایز^۷، ۱۹۷۷).

۸. اندازه‌گیری فنل برگ

اندازه‌گیری ترکیب‌های فنلی به‌وسیله روش‌هایی که از فولین سیوکالتو به عنوان معرف و اسید گالیک به عنوان استاندارد استفاده می‌نمایند انجام شد. محتوای فنلی به‌وسیله اسپکتروفوتومتر Shimadzu UV-160-کشور ژاپن) اندازه‌گیری شد. در این آزمایش ۲ گرم از نمونه به همراه ۸ میلی‌لیتر اتانول ۸۰ درصد هموژن شده و در سانتریفیوژ ۱۲۰۰۰×g به مدت ۲۰ دقیقه سانتریفیوژ شد سپس ۵/۰ میلی‌لیتر از رو شناور با استفاده از سمپلر برداشته و درون فالکون‌های ۱۵ میلی‌لیتری ریخته شد، سپس ۵۰۰ میکرولیتر فولین-سیوکالتو به محتوی فالکون اضافه شد و پس از ۲ دقیقه، یک میلی‌لیتر کربنات

1. Ben-Hamed

2. Catalase (CAT)

3. Macadam

4. Super Oxide Dismutase

5. Nitro blue tetrazolium

6. Giannopolitis

7. Ries

سديم ۷ درصد به مخلوط واکنش اضافه شد و حجم نهايی با استفاده از آب مقطر به ۶ ميلی لیتر رسانده شد. فالكون ها بهمدت ۹۰ دقيقه درون حمام بن ماري ۳۰ درجه سانتي گراد (شرياط تاریکی) قرار داده شدند. جذب نمونه ها نیز در طول موج ۷۲۵ نانومتر با اسپکتروفوتومتر اندازه گیری شد. اين روش برای کلیه محلول های استاندارد اسيد گالیک و رسم منحنی کالیبراسيون استاندارد به کار برده شد (اوجیک^۱ و همكاران، ۲۰۱۱).

۳.۹. اندازه گيري فلاونوئيد برگ

میزان فلاونوئید به روش رنگ سنجی آلومینیوم کلرید اندازه گيري شد. در این روش ۵/۰ میلی لیتر از محلول عصاره با ۱/۵ میلی لیتر اتانول ۹۵ درصد، ۱/۰ میلی لیتر آلومینیوم کلرید ۱۰ درصد، ۱/۰ میلی لیتر استات پتاسیم ۱ مولار و ۲/۸ میلی لیتر آب مقطر مخلوط شد. بعد از نگهداری نمونه ها در دمای اتاق بهمدت ۳۰ دقيقه، جذب مخلوط در طول موج ۴۱۵ نانومتر به وسیله دستگاه اسپکتروفوتومتر (Shimadzu UV-160 - کشور ژاپن) قرائت شد. به منظور رسم منحنی از استاندارد کوئستین استفاده شد (چانگ^۲ و همكاران، ۲۰۰۲).

۳.۱۰. درصد اسانس و عملکرد اسانس اندام هوایی

جهت اندازه گيري وزن خشک اندام هوایی گیاه و نیز آماده سازی نمونه برای تهیه اسانس، گیاهان پس از برداشت بهمدت دو هفته در دمای معمولی در شرایط سایه، در محیط آزمایشگاه خشک شدند. جهت محاسبه درصد اسانس موجود در گیاه ابتدا مقدار ۵۰ گرم نمونه خشک گیاه با ترازوی دیجیتال توزین گردید، سپس آن را به داخل بالن ۵۰۰ میلی لیتری انتقال داده و ۲۰ عدد پرل شیشه ای به همراه ۲۵۰ میلی لیتر آب به محتويات داخل بالن اضافه گردید. پس از آن بالن به دستگاه اسانس گيري (کلونجر) متصل گردید و برای مدت چهار ساعت عمل استخراج اسانس موجود در گیاه انجام گرفت. از حاصل ضرب درصد اسانس در وزن خشک، عملکرد اسانس به دست آمد (يو^۳ و همكاران، ۲۰۱۳).

۳.۱۱. آنالیز و واریانسداده ها

این آزمایش به صورت فاكتورييل در قالب طرح کاملاً تصادفي انجام شد. کلیه داده های به دست آمده حاصل از اندازه گيري متغیرها در تحقیق، ابتدا در اکسل^۴ ثبت شده و سپس با نرم افزار آماری SAS (نسخه ۹/۳) آنالیز شد. مقایسه ميانگين داده ها در سطح احتمال ۱ و ۵ درصد با آزمون چند دامنه ای دانکن^۵ بررسی شد. نمودارها در نرم افزار اکسل تهیه شدند.

۴. يافته های پژوهش و بحث

۴.۱. صفات وزنی

نتایج نشان داد اثر اصلی تنفس شوری و نیز سالیسیلیک اسید و سلنات سدیم بر وزن تر و خشک اندام هوایی و ریشه در سطح احتمال یک درصد معنی دار بود، اگرچه اثر متقابل تیمارها فقط بر وزن خشک اندام هوایی در سطح احتمال ۵ درصد تفاوت معنی دار نشان داد (جدول ۲).

1. Ouchikh

2. Chang

3. Yu

4. Excel

5. Duncan's multiple range test

جدول ۲. تجزیه واریانس صفات وزن سرخارگل تحت شوری و محلول پاشی با سالیسیلیک اسید و سلنات سدیم

میانگین مربعات						منبع تغییرات
وزن خشک ریشه	وزن تر ریشه	وزن خشک اندام هوایی	وزن تر اندام هوایی	وزن تر اندام هوایی	درجه آزادی	
۱/۵۶**	۱۴/۶**	۳/۵۱**	۳۴/۹**	۲		تش شوری
۰/۰۸**	۰/۷۸**	۰/۱۴**	۱/۵۶**	۴		سالیسیلیک اسید و سلنات سدیم
۰/۰۱ns	۰/۰۸ns	۰/۰۲*	۰/۰۶ns	۸		تش شوری × سالیسیلیک اسید و سلنات سدیم
۰/۰۰۵	۰/۰۴	۰/۰۰۰۸	۰/۰۵	۳۰		خطا
۳/۸۸	۳/۲	۳/۲	۲/۹۳	-		ضریب تغییرات (درصد)

*** و ns به ترتیب وجود اختلاف معنی‌دار در سطح احتمال ۱ و ۵ درصد و بدون اختلاف معنی‌دار.

تش شوری سبب کاهش وزن تر اندام هوایی (۳۱/۷۷ درصد نسبت به شاهد)، وزن تر ریشه (۲۷/۳۶ درصد نسبت به شاهد) و وزن خشک ریشه (۲۸/۰۲ درصد نسبت به شاهد) شد، محلول پاشی برگی با سالیسیلیک اسید و سلنات سدیم سبب افزایش وزن تر اندام هوایی و ریشه و وزن خشک ریشه گیاه گردید، اگرچه بیشترین میزان وزن تر اندام هوایی (۸/۶۰ گرم)، وزن تر ریشه (۶/۴۹ گرم) و وزن خشک ریشه (۲/۰۷ گرم) تحت محلول پاشی سالیسیلیک اسید ۱ میلی مولار و پس از آن سلنات سدیم ۱۰ میلی گرم بر لیتر مشاهده شد (جدول ۳).

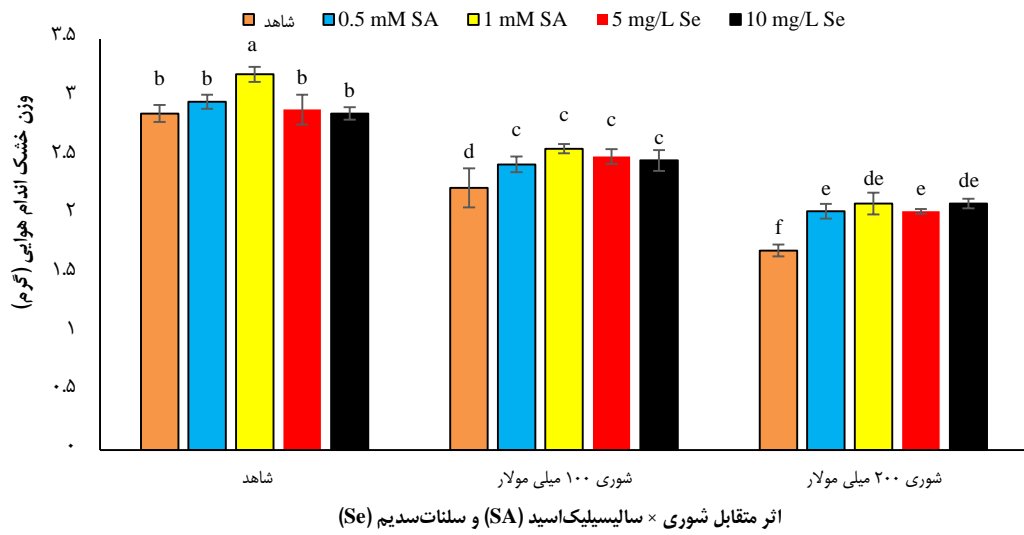
جدول ۳. نتایج مقایسه میانگین اثر اصلی تش شوری و سالیسیلیک اسید و سلنات سدیم بر خصوصیات وزن سرخارگل

متغیرها	وزن تر اندام هوایی (گرم)	وزن خشک ریشه (گرم)	وزن تر ریشه (گرم)
تیمار تش شوری (میلی مولار)			
۰ (شاهد)	۷/۳۲a	۷/۲۰a	۹/۶۳a
۱۰۰	۱/۹۸b	۶/۲۶b	۸/۰۸b
۲۰۰	۱/۶۷c	۵/۲۳c	۶/۵۷c
تیمار سالیسیلیک اسید و سلنات سدیم			
عدم محلول پاشی	۱/۸۲c	۵/۷۴c	۷/۴۴c
سالیسیلیک اسید ۰/۵ میلی مولار	۲/۰۳ab	۶/۳۸a	۸/۱۷b
سالیسیلیک اسید ۱ میلی مولار	۲/۰۷a	۶/۴۹a	۸/۶۰a
سلنات سدیم ۵ میلی گرم بر لیتر	۱/۹۸b	۶/۱۷b	۸/۰۶b
سلنات سدیم ۱۰ میلی گرم بر لیتر	۲/۰۵ab	۶/۳۷a	۸/۲۰b

در هر ستون، میانگین‌هایی که حداقل یک حرف مشترک دارند، تفاوت معنی‌داری در سطح احتمال ۵ درصد ندارند.

بیشترین مقدار وزن خشک اندام هوایی در تیمار سالیسیلیک اسید ۱ میلی مولار بدون تش شوری با ۸۸ درصد افزایش نسبت به شاهد و کمترین مقدار آن در تیمار تش شوری ۲۰۰ میلی مولار بدون محلول پاشی گزارش شد (شکل ۱). براساس نتایج اثر اصلی تش شوری و نیز سالیسیلیک اسید و سلنات سدیم بر محتوای کلروفیل (a، b و کل) و انباست سدیم و پتاسیم در برگ گیاه سرخارگل در سطح احتمال یک درصد معنی‌دار بود، اگرچه اثر متقابل تیمارها فقط بر میزان سدیم و پتاسیم در سطح احتمال یک درصد تفاوت معنی‌دار نشان داد (جدول ۴).

با افزایش شدت تش شوری، محتوای کلروفیل (a، b و کل) کاهش معنی‌دار پیدا کرد، به طوری که در تش ۲۰۰ میلی مولار کلرید سدیم این کاهش در میزان رنگیزه‌های فتوستنتزی بیشتر بود. تمامی سطوح سالیسیلیک اسید و سلنات سدیم سبب افزایش کلروفیل برگ سرخارگل گردید، به طوری که بیشترین مقدار آن در سالیسیلیک اسید ۱ میلی مولار گزارش شد (جدول ۵).



شکل ۱. اثر متقابل شوری × سالیسیلیک اسید (SA) و سلنات‌سدیم (Se)

شکل ۲. تجزیه واریانس کلروفیل، سدیم و پتاسیم برگ سرخارگل تحت شوری و محلول‌پاشی با سالیسیلیک اسید و سلنات‌سدیم

جدول ۴. تجزیه واریانس کلروفیل، سدیم و پتاسیم برگ سرخارگل تحت شوری و محلول‌پاشی با سالیسیلیک اسید و سلنات‌سدیم

پتاسیم	سدیم	کلروفیل کل	کلروفیل a		درجه آزادی	منبع تغییرات
			کلروفیل a	کلروفیل a		
۲۲۵/۴**	۱۰۱**	۰/۴۸**	۰/۰۷۷**	۰/۱۷۷**	۲	تش شوری
۲۵/۷**	۶/۶**	۰/۰۴**	۰/۰۰۳**	۰/۰۲**	۴	سالیسیلیک اسید و سلنات‌سدیم
۲/۸**	۲/۶**	۰/۰۰۱ns	۰/۰۰۰۲ns	۰/۰۰۱ns	۸	تش شوری × سالیسیلیک اسید و سلنات‌سدیم
۰/۵۴	۰/۰۴	۰/۰۰۱	۰/۰۰۰۱	۰/۰۰۰۷	۳۰	خطا
۲/۶	۴/۲۱	۲/۱۵	۳/۲۷	۲/۶۱	-	ضریب تغییرات (درصد)

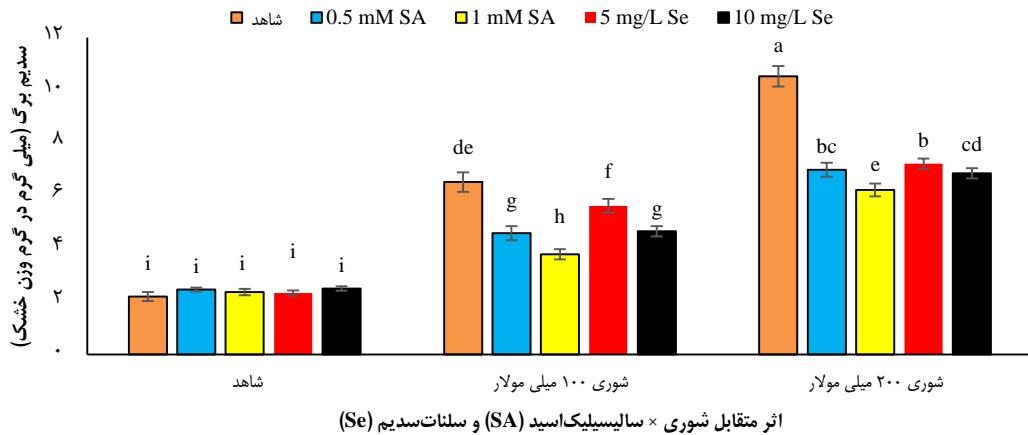
*: بهترین وجود اختلاف معنی دار در سطح احتمال ۱ و ** درصد و بدون اختلاف معنی دار.

جدول ۵. نتایج مقایسه میانگین اثر اصلی تنش شوری و سالیسیلیک اسید و سلنات‌سدیم بر محتوای کلروفیل، آب نسبی برگ و عملکرد اسانس سرخارگل

عملکرد	محتوای نسبی	کلروفیل	کلروفیل a		متغیرها	تبیار تنش شوری (میلی مولار)
			آب برگ	کل		
اسانس	آب برگ (درصد)	کل (درصد)	(میلی گرم در گرم وزن تر)	(میلی گرم در گرم وزن تر)		
۱۰/۳۹a	۸۹/۵۰a	۱/۷۸a	۰/۴۵a	۱/۱۸a	صفر (شاهد)	
۸/۹۶b	۸۱/۴۷b	۱/۵۷b	۰/۳۷b	۱/۰۵b	۱۰۰	
۶/۴۸c	۷۶/۴۰c	۱/۴۲c	۰/۳۱c	۰/۹۶c	۲۰۰	
تیمار سالیسیلیک اسید و سلنات‌سدیم						
۷/۵۴c	۷۸/۴۴c	۱/۴۹d	۰/۳۵d	۰/۹۹c	عدم محلول‌پاشی	
۸/۶۲b	۸۲/۱۳b	۱/۶۲b	۰/۳۹b	۱/۰۸b	سالیسیلیک اسید ۰/۵ میلی مولار	
۹/۶۲a	۸۳/۸۹a	۱/۶۷a	۰/۴۰a	۱/۱۲a	سالیسیلیک اسید ۱ میلی مولار	
۸/۵۶b	۸۲/۱۳b	۱/۵۷c	۰/۳۶c	۱/۰۶b	سلنات‌سدیم ۵ میلی گرم بر لیتر	
۸/۷۶b	۸۳/۷۹a	۱/۶۰bc	۰/۳۸b	۱/۰۷b	سلنات‌سدیم ۱۰ میلی گرم بر لیتر	

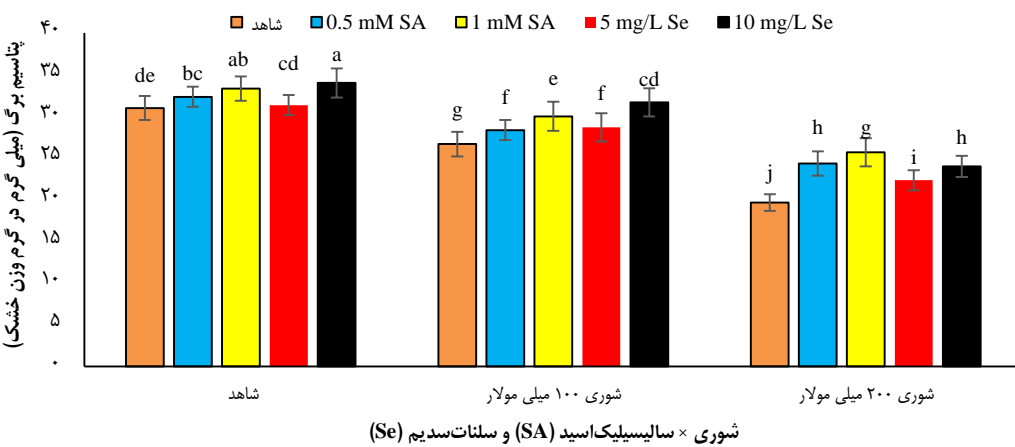
در هر ستون، میانگین‌هایی که حداقل یک حرف مشترک دارند، تفاوت معنی داری در سطح احتمال ۵ درصد ندارند.

بیشترین مقدار سدیم برگ در تنش شوری ۲۰۰ میلی مولار بدون محلول‌پاشی برگی مشاهده شد (شکل ۲).



شکل ۲. اثر متقابل شوری و سالیسیلیک اسید و سلنات سدیم تنش شوری بر سدیم برگ سرخارگل

در شرایط بدون محلول پاشی، شوری ۱۰۰ و ۲۰۰ میلی مولار سبب کاهش ۱۳ و ۳۲ درصدی پتابسیم برگ شد. در شرایط تنش شوری شدید، محلول پاشی برگی با سالیسیلیک اسید ۱ میلی مولار سبب افزایش ۳۰ درصدی پتابسیم برگ نسبت به شرایط بدون محلول پاشی شد (شکل ۳).



شکل ۳. اثر متقابل شوری و سالیسیلیک اسید و سلنات سدیم تنش شوری بر پتابسیم برگ سرخارگل

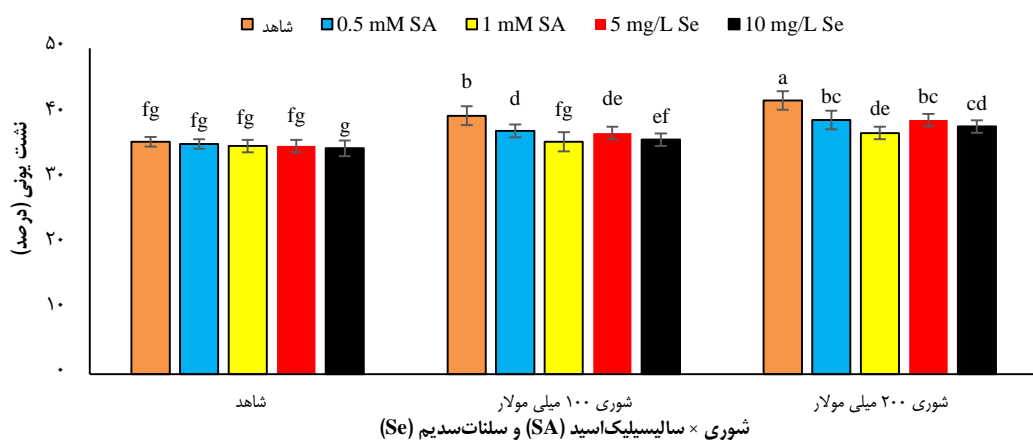
اثر اصلی تنش شوری و نیز سالیسیلیک اسید و سلنات سدیم بر محتوای نسبی آب برگ، میزان نشت یونی، فعالیت آنزیم‌های کاتالاز و سوپراکسید دیسموتاز در سطح احتمال ۱ درصد معنی‌دار بود، همچنین اثر متقابل تیمارها بر میزان نشت یونی و فعالیت آنزیم‌های کاتالاز و سوپراکسید دیسموتاز در سطح احتمال یک درصد تفاوت معنی‌دار نشان داد (جدول ۶). گیاهان تحت تنش شوری دارای محتوای نسبی آب برگ کمتری نسبت به شاهد بودند، به طوری که بیشترین و کمترین مقدار آن به ترتیب در تیمار شاهد و شوری ۲۰۰ میلی مولار کلرید سدیم حاصل شد. محلول پاشی سالیسیلیک اسید و سلنات سدیم سبب افزایش محتوای نسبی آب برگ شد، بیشترین مقدار آن در تیمار ۱ میلی مولار سالیسیلیک اسید (۸۳/۷ درصد) و ۱۰ میلی‌گرم در لیتر سلنات سدیم (۷/۸۳ درصد) به دست آمد و کمترین مقدار آن در تیمار شاهد (۷/۷۸ درصد) مشاهده شد (جدول ۷).

جدول ۶. تجزیه واریانس برخی صفات فیزیولوژیک و آنزیم آنتیاکسیدانی تحت شوری و محلول پاشی با سالیسیلیک اسید و سلنات سدیم

میانگین مربوط	سوپراکسید دیسموتاز	کاتالاز	نشت یونی	RWC	درجه آزادی	منبع تغییرات	
						تش شوری	سالیسیلیک اسید و سلنات سدیم
۵۵/۹۱**	-/۲۹**	۵۶/۰۸**	۸۶۷/۴**	۲		تش شوری	
۰/۸۲**	۰/۰۱**	۱۴/۱۸**	۴۳/۸**	۴		سالیسیلیک اسید و سلنات سدیم	
۰/۶۰**	۰/۰۰۹**	۲/۰۸**	۳/۳۷ns	۸		تش شوری × سالیسیلیک اسید و سلنات سدیم	
۰/۰۳	۰/۰۰۳	۰/۳۶	۲/۰۱	۳۰		خطا	
۳/۶۷	۴/۲۲	۱/۶۳	۱/۷۲	-		ضریب تغییرات (درصد)	

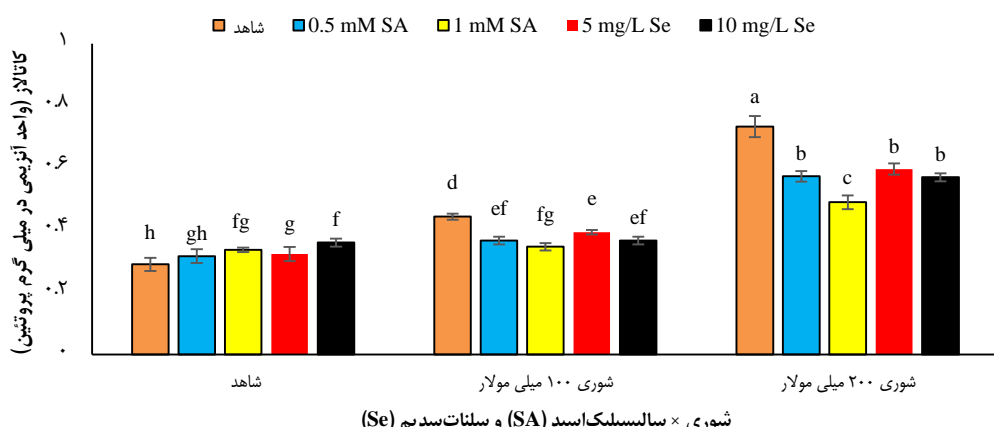
**، ns به ترتیب وجود اختلاف معنی‌دار در سطح احتمال ۱ و ۵ درصد و بدون اختلاف معنی‌دار.

بیشترین مقدار نشت یونی در تنش شوری ۲۰۰ میلی‌مولا ر بدون محلول پاشی با ۱۵/۰۷ درصد افزایش نسبت به شاهد (عدم تنش شوری و عدم محلول پاشی) گزارش شد (شکل ۴).



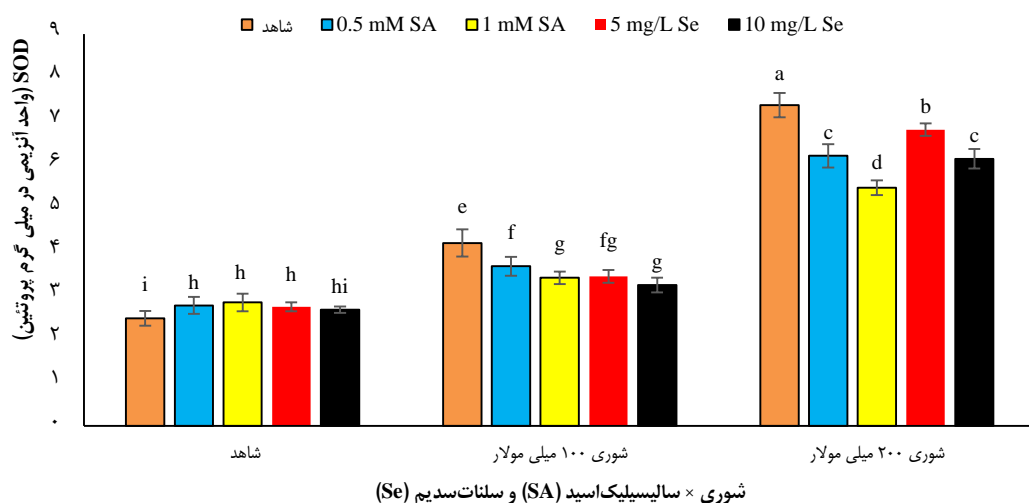
شکل ۴. اثر متقابل شوری و سالیسیلیک اسید و سلنات سدیم تنش شوری بر نشت یونی سرخارگل

بیشترین فعالیت آنزیم کاتالاز در تنش شوری ۲۰۰ میلی‌مولا ر بدون محلول پاشی با ۶۰/۲۷ درصد افزایش نسبت به شاهد گزارش شد (شکل ۵).



شکل ۵. اثر متقابل شوری و سالیسیلیک اسید (SA) و سلنات سدیم (Se) بر فعالیت کاتالاز سرخارگل

بیشترین فعالیت آنزیم سوپراکسید دیسموتاز در تنفس شوری ۲۰۰ میلی‌مولار بدون محلول‌پاشی با ۶۶/۴۹ درصد افزایش نسبت به شاهد گزارش شد. در شرایط تنفس شوری شدید، همه سطوح محلول‌پاشی سالیسیلیک اسید و سلنات سدیم سبب کاهش فعالیت آنزیم سوپراکسید دیسموتاز به‌طوریکه بیشترین کاهش در سالیسیلیک اسید ۱ میلی‌مولار مشاهده شد (شکل ۶).



شکل ۶. اثر متقابل شوری و سالیسیلیک اسید و سلنات سدیم تنفس شوری بر فعالیت سوپراکسید دیسموتاز سرخارگل

نتایج نشان داد اثر اصلی تنفس شوری و نیز سالیسیلیک اسید و سلنات سدیم بر فنل و فلاونوئید کل، درصد و عملکرد انسانس در سطح احتمال بک درصد معنی‌دار بود، همچنین اثر متقابل تیمارها بر میزان فنل و فلاونوئید کل و درصد انسانس در سطح احتمال پنج درصد تفاوت معنی‌دار نشان داد (جدول ۲).

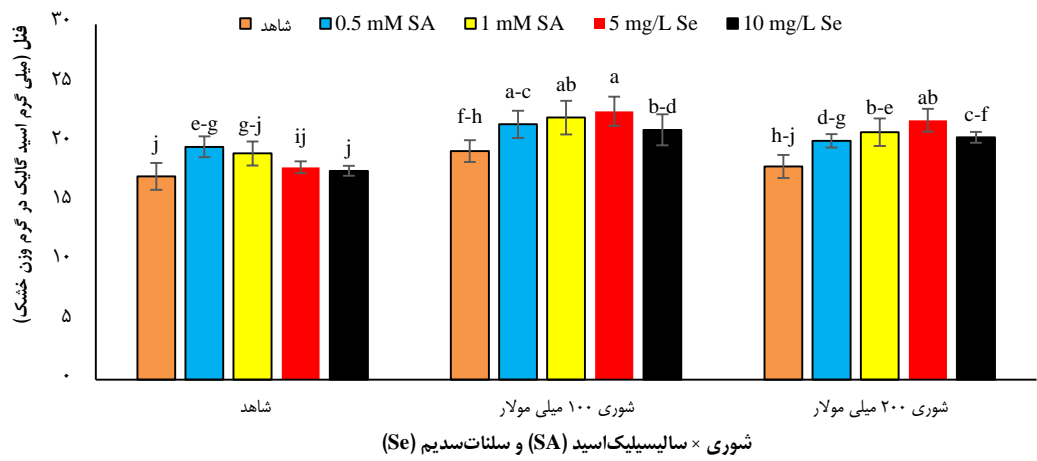
جدول ۷. تجزیه واریانس فنل، فلاونوئید و انسانس تحت شوری و محلول‌پاشی با سالیسیلیک اسید و سلنات سدیم

عملکرد انسانس	درصد انسانس	فلن کل	آزادی	منبع تغییرات	
				تنفس شوری	سالیسیلیک اسید و سلنات سدیم
۵۸/۸**	۰/۰۷**	۱۰/۱۲**	۳۶/۰۱**	-	-
۴۹۱**	۰/۰۰۱**	۱/۹۶**	۱۱/۰۱**	-	-
۰/۳۴ns	۰/۰۰۰۲*	۰/۰۶*	۱/۷۳*	تنفس شوری × سالیسیلیک اسید و سلنات سدیم	-
۰/۱۹	۰/۰۰۰۱	۰/۰۶	۰/۰۷	-	خطا
۵/۰۹	۲/۸۳	۳/۲۴	۳/۹۹	ضریب تغییرات (درصد)	-

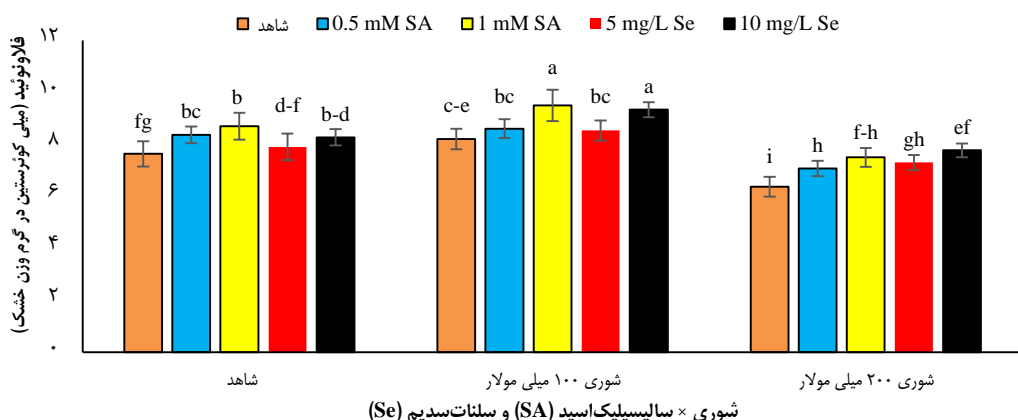
به ترتیب وجود اختلاف معنی‌دار در سطح احتمال ۱ و ۵ درصد و بدون اختلاف معنی‌دار.

بیشترین فنل کل برگ در تنفس شوری ۱۰۰ میلی‌مولار با محلول‌پاشی با سلنات سدیم ۵ میلی‌گرم در لیتر (۲۲/۶۷) میلی‌گرم اسید گالیک در گرم وزن خشک) به‌دست آمد (شکل ۷).

بیشترین فلاونوئید کل برگ در تنفس شوری ۱۰۰ میلی‌مولار با محلول‌پاشی با سلنات سدیم ۵ میلی‌گرم در لیتر و تنفس ۱۰۰ میلی‌مولار با سالیسیلیک اسید ۱ میلی‌مولار به ترتیب با ۲۲ و ۲۴ درصد نسبت به شاهد حاصل شد (شکل ۸).

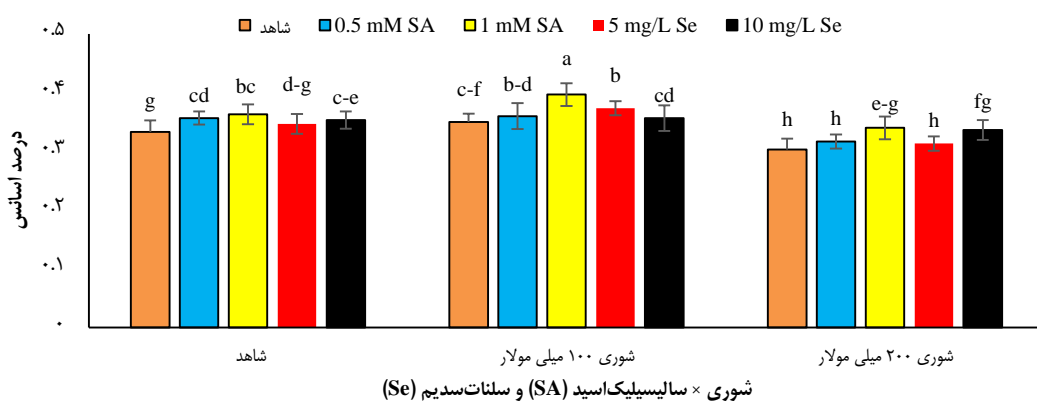


شکل ۷. اثر متقابل شوری و سالیسیلیک اسید و سلنات سدیم تنش شوری بر فل کل سرخارگل



شکل ۸. اثر متقابل شوری و سالیسیلیک اسید و سلنات سدیم تنش شوری بر فلاونوئید کل سرخارگل

بیشترین درصد اسانس در تنش شوری ۱۰۰ میلی مولار و سالیسیلیک اسید ۱ میلی مولار $40/0\%$ درصد مشاهده شد که نسبت به شاهد $21/21\%$ درصد افزایش نشان داد (شکل ۹).



شکل ۹. اثر متقابل شوری و سالیسیلیک اسید و سلنات سدیم تنش شوری بر درصد اسانس سرخارگل

تنش شوری ۲۰۰ میلی‌مولار کلریدسدیم سبب کاهش ۳۷ درصدی عملکرد اسانس شد. محلول پاشی برگی با سالیسیلیک اسید و سلنات سدیم سبب افزایش عملکرد اسانس شد (جدول ۵).

۵. بحث

سمیت یون‌های نمک سدیم و کلر می‌تواند بر فتوستتر، فیتوهورمون‌ها، تعادل وضعیت آب گیاه و هموستاز مواد مغذی تأثیر منفی بگذارد که سبب کاهش رشد می‌شود. بهنظر می‌رسد توقف رشد طولی گیاه با افزایش شوری به سبب اثرات مخرب سدیم و جلوگیری از تأمین عناصر ضروری باشد. اثرهای منفی شوری بر رشد گیاه، بهعلت پتانسیل اسمزی پایین محلول خاک (تنش اسمزی)، عدم تعادل عناصر غذایی یا مجموعه این عوامل ایجاد می‌شود، لذا هنگامی که گیاه در شرایط شور رشد می‌کند فعالیت فتوستتری آن کاهش یافته و منجر به کاهش رشد می‌گردد. با افزایش غلظت املاح، فشار اسمزی محلول خاک زیاد می‌شود، در نتیجه مقدار انرژی که گیاه باید صرف جذب آب از خاک نماید افزایش می‌یابد که این عمل باعث کاهش جذب آب، افزایش تنفس و کاهش رشد گیاه می‌شود (امیری‌پور^۱ و همکاران، ۲۰۲۱). در این مطالعه، سالیسیلیک اسید و سلنات سدیم اثر مثبتی بر بیوماس گیاه سرخارگل داشتند که نقش سالیسیلیک اسید ۱ میلی‌مولار پررنگ‌تر بود. نتایج حاصل از تیمار سالیسیلیک اسید بر پارامترهای رشدی گیاهی از تأثیر مثبت و معنی‌دار این ماده بر بهبود شرایط رشد گیاه است. سالیسیلیک اسید یک تنظیم‌کننده رشد گیاهی می‌باشد که در مقادیر کم و زیاد اثرات متفاوتی بر رشد و فرایندهای فیزیولوژیکی گیاه می‌گذارد. سالیسیلیک اسید سبب افزایش تقسیم سلولی مریستم انتهایی گیاه شده و از این طریق رشد و عملکرد گیاه افزایش یافته است. در شرایط تنش شوری، سالیسیلیک اسید نقش مهمی در کاهش جذب عناصر سدیم و کلر، افزایش میزان فتوستتر و حفظ تعادل اسمزی در گیاه دارد (سوری^۲ و توحدلloo^۳). افزایش بیوماس گیاهی در شرایط تنش شوری توسط سالیسیلیک اسید در گیاهان باقلاء (داود^۴ و همکاران، ۲۰۲۲)، خرفه (فتحی^۵ و همکاران، ۲۰۱۹) و شنبیله (محمد^۶ و همکاران، ۲۰۱۹) گزارش شد که همسو با نتایج پژوهش حاضر است.

در پژوهش‌های پیشین نشان داده شد که سلنجیم در گیاهان دارای محدوده حساسی بین مقدار ضروری و سمی آن است. در مقادیر کم، می‌تواند رشد گیاه را از طریق ارتقای کارایی فتوستتر و تقویت سیستم دفاعی آنتی‌اکسیدانی کلروپلاست افزایش دهد. سلنجیم در سطوح بهینه می‌تواند رشد گیاه را تحریک کرده و تحمل نمک را در گیاه افزایش دهد. در مقابل، سطوح بالای سلنجیم می‌تواند باعث مهار قابل توجهی برای رشد گیاه و ویژگی‌های مختلف بیوشیمیابی مانند فتوستتر و هموستاز بینی شود. پژوهش‌ها نشان داده است که سلنجیم می‌توانند رشد و نمو گیاهان تحت تنش شوری را با مکانیسم‌های مختلف افزایش دهند (ذوق‌القار^۷ و اشرف^۸، علی^۹ و همکاران، ۲۰۲۱). همچنین کاربرد سلنجیم در افزایش وزن گیاه توت‌فرنگی در شرایط تنش شوری گزارش شد (پورابراهیمی^{۱۰} و همکاران، ۲۰۲۳) که تأیید‌کننده نتایج پژوهش حاضر است.

میزان کلروفیل در گیاهان زنده یکی از فاکتورهای مهم حفظ ظرفیت فتوستتری بهشمار می‌رود. از عوامل کاهش رنگیزهای فتوستتری در شرایط تنش شوری می‌توان به تخریب ساختمان کلروپلاست و دستگاه فتوستتری،

- 1.Amiripour
2. Souri
3. Tohidloo
4. Dawood
5. Fathi
6. Mohammad
7. Zulfiqar
8. Ashraf
9. Ali
10. Pourebrahimi

فتواکسیداسیون کلروفیل‌ها، واکنش آن‌ها با رادیکال اکسیژن، تخریب پیش ماده‌های سنتز کلروفیل و ممانعت از فتوستترز کلروفیل‌های جدید و فعلی شدن آنزیم‌های تجزیه‌کننده کلروفیل از جمله کلروفیلاز و اختلالات هورمونی اشاره کرد. محتوای کلروفیل برگ به عنوان یک عامل مهم در تعیین ظرفیت فتوستترزی برگ محسوب می‌شود و کاهش محتوای کلروفیل به عنوان یک عامل غیرروزنامه‌ای می‌تواند منجر به کاهش ظرفیت فتوستترزی برگ شود (Hameed¹ و همکاران، ۲۰۲۳). علاوه بر این، تنفس شوری در جذب برخی عناصر ضروری نظری آهن و منیزیم اختلال ایجاد می‌کند که این عناصر در سنتز کلروفیل ضروری می‌باشند (Awan et al., ۲۰۱۸). تنفس شوری باعث پیری زودرس برگ‌ها، شکسته شدن کلروپلاست و کاهش میزان کلروفیل می‌شود. کاهش کلروفیل منجر به کاهش فتوستترز می‌شود و گیاهانی که در زمان تنفس میزان کلروفیل بیشتری را حفظ کنند، کارایی فتوستترز بیشتری دارند و در برابر تنفس مقاوم هستند (Radwan³ و همکاران، ۲۰۲۳). کاهش میزان کلروفیل در شرایط تنفس شوری به دلیل فعالیت بیشتر کلروفیلاز است. بعضی از مواد تنظیم‌کننده رشد مانند آبسیزیک‌اسید و اتیلن که میزان آن‌ها در شرایط تنفس افزایش می‌یابد موجب تحریک فعالیت این آنزیم می‌شود. همچنان کاهش میزان سبزینه می‌تواند به دلیل تغییر ساخت و ساز نیتروژن در رابطه با ساخت ترکیب‌هایی اسید آمینه پرولین باشد که در شرایط تنفس برای تحقق تنظیم اسمزی تولید می‌شود (Amiripour⁴ و همکاران، ۲۰۲۱). کاهش کلروفیل a به مراتب بیشتر از کلروفیل a بود. در شرایط تنفس، کمپلکس‌های دریافت کننده نور بیشتر به کلروپلاست و کلروفیل b آسیب می‌ینند که باعث کاهش شدید کلروفیل تحت تنفس خواهد شد (Lu⁵ و همکاران، ۲۰۲۳). سالیسیلیک‌اسید سبب افزایش ظرفیت فتوستترزی و افزایش نرخ فتوستترز در گیاهان می‌شود. سالیسیلیک‌اسید یک مولکول سیگنال‌دهی است که در مقاومت اکتسابی موضعی و سیستمیک در برابر پاتوژن‌ها و همچنان در سازگاری با برخی عوامل استرس‌زای غیرزیستی نقش دارد، ممکن است به طور مستقیم یا غیرمستقیم بر فرایندهای فیزیولوژیکی مختلف از جمله فتوستترز تأثیر بگذارد. اثرات سالیسیلیک‌اسید بر روی فرایندهای فیزیولوژیکی گیاه تحت شرایط محیطی بهینه مورد بحث است. نحوه عملکرد آن تا حد زیادی به عوامل مختلفی مانند گونه گیاهی، شرایط محیطی (نور، دما و غیره) و غلظت بستگی دارد. کاربرد خارجی سالیسیلیک‌اسید ممکن است اثرات مخرب عوامل استرسی مختلف را کاهش دهد و این محافظت ممکن است به عنوان ظرفیت فتوستترزی بالاتر نیز آشکار شود (Kaur⁶ و همکاران، ۲۰۲۲). در پژوهشی مشابه روی گشنیز به نقش مهم سالیسیلیک‌اسید در افزایش محتوای فتوستترزی اشاره شد (Afshari⁷ و همکاران، ۲۰۲۱) که همسو با نتایج پژوهش حاضر است. افزایش محتوای فتوستترزی تحت تأثیر نانوذرات سلنجیم در شرایط تنفس شوری برای گیاهان خیار گزارش شد (Mousavi⁸ و همکاران، ۲۰۲۲) گزارش شد که همسو با نتایج پژوهش حاضر است. همچنان نقش مهم سلنجات‌سیدیم در افزایش محتوای فتوستترزی گیاه برنج در شرایط تنفس شوری گزارش شد (Subramanyam⁹ و همکاران، ۲۰۱۹).

شوری یکی از تنش‌های اصلی محیط به حضور غلظت زیاد نمک‌های محلول در خاک اطراف ریشه مربوط می‌شود. غلظت‌های زیاد نمک‌های محلول با افزایش فشار اسمزی، سمیت یونی و محدود کردن جذب آب از ریشه بر رشد گیاهان

1. Hameed
2. Wungrampha
3. Radwan
4. Amiripour
5. Lu
6. Kaur
7. Afshari
8. Mousavi
9. Subramanyam

و در نتیجه تولید کشاورزی اثر می‌گذارند. بخش اصلی بازدارندگی رشد، با تجمع سدیم اضافی در خاک ایجاد می‌شود (فو^۱ و یانگ^۲، ۲۰۲۳). مقدار کاهش رشد گیاه در شرایط شوری به ترکیب و غلظت نمک، مرحله فیزیولوژیک گیاه و گونه گیاهی بستگی دارد (جلیلی^۳ و انصاری^۴، ۲۰۱۹). غلظت بالای سدیم در گیاه می‌تواند منجر به آسیب اسمزی و استرس اکسیداتیو شود و متابولیسم‌های فیزیولوژیکی و بیوشیمیابی را تحت تأثیر قرار دهد و در نتیجه باعث کاهش رشد گیاه شود (باترا^۵ و همکاران، ۲۰۲۳). در پژوهشی مشابه کاهش عناصر پتاسیم، کلسیم و مینزیم و افزایش کلر و سدیم تحت تنش شوری در گیاهان آویشن باغی^۶ و آویشن دنایی^۷ گزارش شد (اما می‌بیستگانی^۸ و همکاران، ۲۰۱۸). در شرایط تنفس شوری، سطوح بالای سدیم نه تنها از جذب پتاسیم توسط ریشه جلوگیری می‌کند و محتوای پتاسیم را کاهش می‌دهد، بلکه یکپارچگی غشای ریشه را مختل می‌کند و بر نفوذپذیری انتخابی آن تأثیر می‌گذارد. در نتیجه، پراکسیداسیون لیپیدی با فعال کردن کانال‌های جریان پتاسیم باعث نشت پتاسیم می‌شود (زانگ^۹ و همکاران، ۲۰۲۳). نسبت سدیم به پتاسیم غشای سلولی نقش مهمی در باز و بسته شدن منافذ روزنه و کترل فرایند فتوسنتر دارد. بنابراین، تنظیم غلظت عناصر در روزنه‌ها برای حفظ ظرفیت فتوسنتری بهینه در شرایط تنش شوری موردنیاز است. بنابراین حفظ نسبت سدیم به پتاسیم مهم‌ترین عامل در تحمل به شوری است. مشخص شده است که سلینیم، رشد گیاه را با افزایش تولید اکسین درون‌زا بهبود می‌بخشد. بنابراین، تقسیم سلولی را فعال می‌کند، یکپارچگی غشاء را حفظ می‌کند، فسفولیپیدها را ذخیره می‌کند، سنتز پروتئین را بهبود می‌بخشد، محتوای کلروفیل را افزایش می‌دهد، رادیکال‌های آزاد را از بین می‌برد و در نهایت مواد مغذی را منتقل می‌کند (باباشپور-اصل^{۱۰} و همکاران، ۲۰۲۲)، سلینیم مانع تجمع سدیم و کلر در اندام هوایی گیاه بادرنجبویه در شرایط تنش شوری شد (قاسمیان^{۱۱} و همکاران، ۲۰۲۱).

تعییر محتوای نسبی آب برگ یک راه کارآمد برای تنظیم فشار اسمزی و حفظ تورژسانس سلولی است. محتوای نسبی آب برگ را می‌توان به عنوان نشانگر شرایط تنش استفاده کرد، زیرا با حجم سلول و شاخص خوبی از وضعیت آب در گیاهان و مقدار تعرق است (باباشپور-اصل^{۱۲} و همکاران، ۲۰۲۲). در شرایط افزایش محتوای نسبی آب برگ، گیاه تورژسانس سلولی خود را حفظ می‌کند و به رشد خود ادامه می‌دهد. در مطالعه حاضر سالیسیلیک اسید و سلینیم باعث افزایش در محتوای نسبی آب برگ شد، که همان‌طور که نتایج نشان می‌دهد، هر دو ماده سبب تقویت سیستم ریشه‌ای گیاه و افزایش ظرفیت نگهداری آب در گیاه می‌شود (موسوی^{۱۳} و همکاران، ۲۰۲۲). افزایش محتوای نسبی آب برگ با سلینیم در شرایط تنش شوری در انگور^{۱۴} گزارش شد (کریمی^{۱۵} و همکاران، ۲۰۲۰) که تأیید کننده نتایج پژوهش حاضر است. در پژوهشی روی شش واریته کلزا، سالیسیلیک اسید نقش مهمی در افزایش محتوای نسبی آب برگ داشت (مرادی^{۱۶} و همکاران، ۲۰۱۳).

1. Fu
2. Yang
3. Jalil
4. Ansari
5. Batra
6. *Thymus vulgaris*
7. *Thymus daenensis*
8. Emami Bistgani
9. Zhang
10. Babashpour-Asl
11. Ghasemian
12. Babashpour-Asl
13. Mousavi
14. *Vitis vinifera*
15. Karimi
16. Moradi

بیشترین مقدار نشت یونی در تنش سوری ۲۰۰ میلی مولار بدون محلول پاشی با ۱۸ درصد افزایش نسبت به شاهد گزارش شد. نشت یونی از پارامترهای مهم و اساسی در بررسی آسیب غشایی در گیاه می‌باشد که در شرایط تنش آسیب غشایی رخ می‌دهد و گیاه با بحران روبه‌رو می‌شود. وقتی که شدت تنش زیاد باشد، میزان آسیب غشایی و نشت یونی افزایش و گیاه به سمت نابودی پیش می‌رود. در پژوهشی افزایش نشت یونی تحت تنش خشکی و کادمیم و کاهش آن با کاربرد نانوذره سیلیکون گزارش شد (خان^۱ و همکاران، ۲۰۲۰). در مطالعه‌ای، تأثیر سالیسیلیک اسید بر افزایش یکپارچگی غشای سلولی که توسط شاخص پایداری غشا ارزیابی می‌شود، بیان شد (سیلو^۲ و همکاران، ۲۰۲۳). افزایش نشت یونی در شرایط تنش با کاربرد سلنجیم روی کاهو گزارش شد (توفیل^۳ و همکاران، ۲۰۲۳).

وقتی گیاه در شرایط تنش قرار می‌گیرد، رادیکال آزاد اکسیژن افزایش و سیستم آنتی‌اکسیدانی گیاه برای خنثی کردن مقدار رادیکال آزاد اکسیژن فعالیت خود را افزایش می‌دهند. اجزای آنزیمی ممکن است به طور مستقیم رادیکال آزاد اکسیژن را از بین ببرند یا با تولید آنتی‌اکسیدان‌های غیرآنزیمی عمل کنند. آنتی‌اکسیدان‌های غیرآنزیمی برای حفظ یکپارچگی غشاهای فتوسترنز تحت فشار اکسیداتیو همکاری می‌کنند (کیثاوات^۴ و همکاران، ۲۰۲۳). سیلیکون با کاهش تجمع گونه‌های اکسیژن واکنش‌پذیر و پراکسیداسیون لیبیدها، آسیب اکسیداتیو ناشی از استرس را خنثی می‌کنند (خان^۵ و همکاران، ۲۰۱۹). عمدۀ فعالیت‌های آنزیم دفاعی آنتی‌اکسیدان‌ها تا حد زیادی توسط سیلیکون تحریک شدند. سیلیکون به عنوان علامتی برای واکنش‌های دفاعی گیاه در برابر تنش‌ها می‌باشد. این عنصر با اتصال به گروه‌های هیدروکسیل پروتئین‌ها در برابر تنش نقش داشته و سبب تحریک فعالیت آنزیم‌های آنتی‌اکسیدان نظری کیتبیاز می‌شود (یان^۶ و همکاران، ۲۰۲۰). تخریب کارآمد O_2^- و H_2O_2 در سلول‌های گیاهی به عملکرد هماهنگ آنتی‌اکسیدان‌ها نیاز دارد. O_2^- می‌تواند توسط سوپراکسید دیسموتاز در کلروپلاست، میتوکندری، سیتوپلاسم و پراکسیزوم به H_2O_2 تبدیل شود تا از آسیب سلول جلوگیری کند و H_2O_2 یک گونه سمی، همچنین باید با تبدیل به O_2 در واکنش‌های بعدی شامل پراکسیداز که سطح H_2O_2 را در گیاهان تنظیم می‌کنند، حذف شود (دکراس^۷ و همکاران، ۲۰۱۹). در پژوهشی مشابه، فعالیت آنزیم‌های کاتالاز و سوپراکسید دیسموتاز در شرایط تنش سوری برای مقابله با ROS افزایش یافت (اورعی^۸ و همکاران، ۲۰۱۹).

ترکیبات فنلی در جذب و مقابله با رادیکال‌های آزاد، کاهش اکسیژن منفرد و تجزیه پراکسید کاربرد مؤثری دارند (احمد^۹ و همکاران، ۲۰۱۵). شرایط تنش منجر به کتترل فعالیت‌های آنزیمی درگیر در سنتر پلی‌فنل‌ها می‌شود و باعث مهار مؤثر رادیکال‌های سمی و افزایش رشد گیاه می‌شود (افشاری^{۱۰} و همکاران، ۲۰۲۱). ترکیبات فنلی در گیاهان ممکن است نیازهای مختلفی را برای جلوگیری از تنش‌ها نشان دهد. در شرایط تنش‌زا، سنتر فنل برای حفظ ساختار سلولی در تقابل با تنش اکسیداتیو بهبود می‌یابد (روحانی^{۱۱} و همکاران، ۲۰۱۹). تجمع فنل کل تحت تنش کادمیوم نشان داد که ترکیبات فنلی ممکن است ناشی از تنش باشند. یافته‌های این مطالعه مطابق با نتایج پژوهش‌ها در مورد شاهدانه (احمد^{۱۲} و همکاران،

1. Khan
2. Silva
3. Tufail
4. Kesawat
5. Khan
6. Yan
7. Decros
8. Oraei
9. Ahmed
10. Afshari
11. Rohani
12. Ahmad

(۲۰۱۵) و پسته (روحانی^۱ و همکاران، ۲۰۱۹) است که حاکی از افزایش محتوای فنلی کل در شرایط تنش است. در شرایط تنش در گیاهان، ROS بیش از حد تولید می‌شود که بسیار واکنش‌پذیر و سمی است و به کربوهیدرات‌ها و پروتئین‌ها آسیب می‌رساند. بنابراین گیاهان سیستم‌های مهار اکسیژن فعال را برای جلوگیری از این آسیب‌ها تقویت می‌کنند. بنابراین افزایش محتوای فنلی بهدلیل پتانسیل کاهش رادیکال‌های آزاد اکسیژن (ROS) احتمالاً دارای یک استراتژی محافظتی است (کریسخارجیریس^۲ و همکاران، ۲۰۱۸). افزایش محتوای فنلی در شرایط تنش متوسط (۴ دسی‌زیمنس بر متر) در گیاه بادرنجبویه گزارش شد و مقدار آن در تنش شدید (۸ دسی‌زیمنس بر متر) به نسبت روند کاهشی داشت و احتمال می‌رود که با افزایش شوری مقدار آن کمتر از مقدار شاهد شود. سلینیم سبب افزایش تولید آمینواسیدها و بهبود مسیرهای تولید فنل مانند مسیر اسید شیکمیک می‌شود و سبب افزایش تجمع این متابولیت ثانویه در گیاه می‌شود. همچنین، در پژوهشی دیگر افزایش بیشترین محتوای فنلی در گیاه مریم‌گلی در شرایط تنش متوسط با کاربرد نانوذرات سلینیم گزارش شد (بختیاری^۳ و همکاران، ۲۰۲۳) که تأیید‌کننده نتایج پژوهش حاضر است. در پژوهشی اثر نانوذرات سلینیم در کاهش اثر تنش غیرزیستی کادمیم بررسی شد و نتایج نشان داد که سلینیم نقش مهمی در افزایش محتوای فنلی داشت (علاءمله^۴ و همکاران، ۲۰۲۳). در شرایط تنش شوری، ترکیبات فلاونوئیدی نقش مهمی در کاهش اثرات تنش بازی می‌کنند (عظیم^۵ و همکاران، ۲۰۲۳). افزایش محتوای فنل و فلاونوئید در گیاه برنج تحت تنش شوری گزارش شد (ژوان^۶ و همکاران، ۲۰۲۲). در پژوهشی مشابه، افزایش محتوای فلاونوئیدی با کاربرد سلینیم در شرایط تنش شوری در گیاه مریم‌گلی گزارش شد (بختیاری^۷ و همکاران، ۲۰۲۳) که همسو با نتایج پژوهش حاضر است.

نقش انسان‌ها در شرایط تنش محافظت از گیاه می‌باشد. افزایش محتوای انسان‌گیاهان مختلف تحت تأثیر محرک‌های بیرونی ناشی از تغییر در اندازه و تعداد غده‌های ترشحی انسان در واحد سطح می‌باشد که سبب تغییر در مقدار انسان می‌شود (میرزاچی^۸ و همکاران، ۲۰۲۰). در پژوهشی مشابه، افزایش محتوای انسان بومادران با کاربرد سالیسیلیک اسید گزارش شد (گرنی^۹ و همکاران، ۲۰۲۰). افزایش درصد انسان در شرایط تنش متوسط با کاربرد سلینیم در گیاه بادرنجبویه (قاسمیان^{۱۰} و همکاران، ۲۰۲۱) و گشنیز (باباش‌پور-اسل^{۱۱} و همکاران، ۲۰۲۲) گزارش شده است که تأیید‌کننده نتایج پژوهش حاضر است. سالیسیلیک اسید و سلینیم با تعديل اثرات مضر تنش شوری سبب بهبود عملکرد انسان شد. تنش‌های غیرزیستی می‌توانند بر تولید انسان در گیاهان معطر تأثیر بگذارند (معماری-تبزیزی^{۱۲} و همکاران، ۲۰۲۱). تولید انسان می‌تواند تحت تأثیر تنش‌های غیرزیستی مختلف از طریق تغییرات در تراکم غدد انسان قرار گیرد (اس-سیبیهی^{۱۳} و همکاران، ۲۰۲۰). کاهش سطح برگ و افزایش تعداد غدد انسان در سطح برگ منجر به افزایش تولید انسان می‌شود (میرزاچی^{۱۴} و همکاران، ۲۰۲۰). در پژوهشی مشابه، افزایش عملکرد انسان مریم‌گلی با کاربرد سالیسیلیک اسید گزارش شد (اس-سیبیهی^{۱۵} و همکاران، ۲۰۲۰).

1. Rohani
2. Chrysargyris
3. Bakhtiari
4. Alawamleh
5. Azeem
6. Xuan
7. akhtiani
8. Mirzaie
9. Gorni
10. Ghasemian
11. Babashpour-Asl
12. Memari-Tabrizi
13. Es-sbahi
14. Mirzaie
15. Es-sbahi

۶. نتیجه‌گیری و پیشنهادها

نتایج حاصل از این پژوهش بیانگر تفاوت معنی‌دار اثر تنفس شوری و سالیسیلیک‌اسید و سلنات‌سدیم بر تمامی صفات مورد مطالعه شامل خصوصیات وزن بوته سرخارگل بود. هم‌چنین میزان فعالیت آنزیم‌های اکسیدان و ترکیباتی چون فنل و فلاونوئید تحت اثر اصلی تیمارها تفاوت معنی‌دار نشان دادند. با افزایش شدت تنفس شوری، وزن ریشه و اندام هوایی کاهش پیدا کرد. اگرچه سالیسیلیک‌اسید و سلنات‌سدیم شدت اثر منفی تنفس شوری را کم کرد، اما سالیسیلیک‌اسید ۱ میلی‌مولار نسبت به سلنات‌سدیم مؤثرتر بود. افزایش شدت تنفس موجب کاهش انباث پتاویم و فعالیت آنزیم‌های کاتالاز و سوپراکسیدیسموتاز و استفاده از سلنات‌سدیم و سالیسیلیک‌اسید موجب بهبود آن شد. در اثر افزایش شدت تنفس شوری میزان رنگیزه‌های فتوسترنی کاهش و با کاربرد محرك‌های زیستی (بهویژه سالیسیلیک‌اسید ۱ میلی‌مولار و سلنات‌سدیم ۵ میلی‌مولار) افزایش یافت. در تیمار تنفس شوری ملایم (۱۰۰ میلی‌مولار کلرید‌سدیم) فنل و فلاونوئید بیشتری در گیاه سنتز شد که سلنات‌سدیم و سالیسیلیک‌اسید موجب هم‌افزایی آن شدند. با افزایش شدت تنفس از میزان انسانس گیاه سرخارگل کاسته شد که به موجب استفاده از ترکیبات محرك رشد تا حدودی جبران گردید. در مجموع می‌توان نتیجه گرفت با توجه به این که شوری امروزه به عنوان یکی از مهم‌ترین تنفس‌های محیطی محسوب می‌شود استفاده از ترکیباتی چون سالیسیلیک‌اسید و سلنات‌سدیم که سبب کاهش اثر منفی تنفس در گیاه و حفظ نسبی عملکرد گیاه خواهد شد، قابل توصیه می‌باشد.

۷. تشکر و قدردانی

از همکاری ارزشمند دکتر اسماعیل خسروپور دانش‌آموخته دکترای تخصصی رشته جنگل‌شناسی و اکولوژی جنگل دانشگاه تهران در مراحل انجام کار، تشکر و قدردانی می‌گردد.

۸. تعارض منافع

هیچ‌گونه تعارض منافع توسط نویسندها وجود ندارد.

۹. منابع

زارع، فرشاد؛ خراسانی نژاد، سارا و همتی، خدایار (۱۳۹۷). اثر سیلیسیم در برخی صفات مورفو‌فیزیولوژیک و فیتوشیمیایی گیاه دارویی سرخارگل (*Echinacea purpurea L.*) در تنفس شوری. *نشریه زیست‌شناسی گیاهی ایران*، ۱۰(۳)، ۶۸-۵۵.

فاضلی، آرش؛ زارعی، بتول و طهماسبی، زهرا (۱۳۹۶). تأثیر تنفس شوری و سالیسیلیک‌اسید بر برخی ویژگی‌های فیزیولوژیک و بیوشیمیایی سیاهدانه (*Nigella sativa L.*). *نشریه زیست‌شناسی گیاهی ایران*، ۹(۴)، ۸۴-۶۹.

نیک‌بخت، جعفر؛ محمدی، ابراهیم و بزرگر، طاهر (۱۳۹۹). تأثیر محلول پاشی سالیسیلیک‌اسید در شرایط کم آبیاری بر عملکرد و کارآیی مصرف آب خیار (*Cucumis sativus cv. Kish F1*). *تحقیقات آب و خاک ایران (علوم کشاورزی ایران)*، ۳(۵۱)، ۵۶۱-۵۵۳.

References

- Afshari, M., Pazoki, A., & Sadeghipour, O. (2021). Foliar-applied Silicon and its Nanoparticles Stimulates Physio-chemical Changes to Improve Growth, Yield and Active Constituents of Coriander (*Coriandrum sativum L.*) Essential oil Under Different Irrigation Regimes. *Silicon*, 13, 4177-4188.
- Ahmad, Z., Anjum, S., Skalicky, M., Waraich, E.A., Muhammad Sabir Tariq, R., Ayub, M.A., Hossain, A., Hassan, M.M., Brešić, M., Sohidul Islam, M., & Habib-Ur-Rahman, M. (2021). Selenium Alleviates the Adverse Effect of Drought in Oilseed Crops Camelina (*Camelina sativa L.*) and Canola (*Brassica napus L.*). *Molecules*, 26(6), 1699.

- Ahmed, I.A., Mikail, M.A., Bin Ibrahim, M., Bin Hazali, N., Rasad, M.S., Ghani, R.A., Wahab, R. A., Arief, S. J., & Yahya, M. N. (2015). Antioxidant activity and phenolic profile of various morphological parts of underutilized *Baccaurea angulata* fruit. *Food Chemistry*, 172, 778-87.
- Alawamleh, H. S. K., Jabbari, H., Moradkhani, S., & Babashpour-Asl, M. (2023). Cold plasma and foliar-applied selenium nanoparticles modulated cadmium toxicity through changes in physio-biochemical properties and essential oil profile of Sage (*Salvia officinalis* L.). *Journal of Soil Science and Plant Nutrition*, 23, 1-15.
- Ali, M., Afzal, S., Parveen, A., Kamran, M., Javed, M. R., Abbasi, G. H., & Ali, S. (2021). Silicon mediated improvement in the growth and ion homeostasis by decreasing Na^+ uptake in maize (*Zea mays* L.) cultivars exposed to salinity stress. *Plant Physiology and Biochemistry*, 158, 208-218.
- Amiripour, A., Ghanbari Jahromi, M., Soori, M. K., & Mohammadi Torkashvand, A. (2021). Changes in essential oil composition and fatty acid profile of coriander (*Coriandrum sativum* L.) leaves under salinity and foliar-applied silicon. *Industrial Crops and Products*, 168, 113599.
- Arnon, D. I. (1949). Copper enzymes in isolated chloroplasts. Polyphenol oxidase in *Beta vulgaris*. *Plant Physiology*, 24(1), 1.
- Azeem, M., Pirjan, K., Qasim, M., Mahmood, A., Javed, T., Muhammad, H., & Rahimi, M. (2023). Salinity stress improves antioxidant potential by modulating physio-biochemical responses in *Moringa oleifera* Lam. *Scientific Reports*, 13(1), 2895.
- Babashpour-Asl, M., Farajzadeh-Memari-Tabrizi, E., & Yousefpour-Dokhanieh, A. (2022). Foliar-applied selenium nanoparticles alleviate cadmium stress through changes in physio-biochemical status and essential oil profile of coriander (*Coriandrum sativum* L.) leaves. *Environmental Science and Pollution Research*, 29(53), 80021-80031.
- Bakhtiari, M., Sadati, F., & Sadati, S. (2023). Foliar application of silicon, selenium, and zinc nanoparticles can modulate lead and cadmium toxicity in sage (*Salvia officinalis* L.) plants by optimizing growth and biochemical status. *Environmental Science and Pollution Research*, 30, 1-11.
- Batra, N., Kumari, N., & Sharma, V. (2023). Salt stress in plants and amelioration strategies: alleviation of agriculture and livelihood risks after the Covid-19 pandemic. *Vegetos*, 36, 268-274.
- Ben-Hamed, K., Castagna, A., Salem, E., Ranieri, A., & Abdelly, C. (2007) Sea fennel (*Crithmum maritimum* L.) under salinity conditions: a comparison of leaf and root antioxidant responses. *Plant Growth Regulation*, 53, 185-194.
- Burlou-Nagy, C., Bănică, F., Jurca, T., Vicaş, L.G., Marian, E., Muresan, M. E., & Pallag, A. (2022). *Echinacea purpurea* (L.) Moench: Biological and Pharmacological Properties. A Review. *Plants*, 11(9), 1244.
- Chang, C. C., Yang, M. H., Wen, H. M., & Chern, J. C. (2002). Estimation of total flavonoid content in propolis by two complementary colorimetric methods. *Journal of Food and Drug Analysis*, 10(3).
- Chapman, H. D., & Pratt, P. F. (1962) Methods of Analysis for Soils, Plants and Waters. *Soil Science*, 93, 68.
- Chrysargyris, A., Michailidi, E., & Tzortzakis, N. (2018). Physiological and biochemical responses of *Lavandula angustifolia* to salinity under mineral foliar application. *Frontiers in Plant Science*, 9, 489.
- Dawood, M. F., Zaid, A., & Latef, A. A. H. A. (2022). Salicylic acid spraying-induced resilience strategies against the damaging impacts of drought and/or salinity stress in two varieties of *Vicia faba* L. seedlings. *Journal of Plant Growth Regulation*, 41(5), 1919-1942.
- Decros, G., Baldet, P., Beauvoit, B., Stevens, R., Flandin, A., Colombié, S., Gibon, Y., & Pétriacq, P. (2019). Get the balance right: ROS homeostasis and redox signalling in fruit. *Frontiers in Plant Science*, 10, 1091.
- Dehestani-Ardakani, M., Gholamnezhad, J., Alizadeh, S., Meftahizadeh, H., & Ghorbanpour, M. (2022). Salicylic acid and herbal extracts prolong vase life and improve quality of carnation (*Dianthus caryophyllus* L.) flower. *South African Journal of Botany*, 150, 1192-1204.
- Emami Bistgani, Z., Siadat, A., Bakhshandeh, A. M., Ghasemi Pirbalouti, A., Hashemi, M., Maggi, F., & Morshedloo, M. R. (2018). Application of combined fertilizers improves biomass, essential oil yield, aroma profile, and antioxidant properties of *Thymus daenensis* Celak. *Industrial Crops and Products*, 121(1), 434-440.
- Es-sbihi, F. Z., Hazzoumi, Z., & Amrani Joutei, K. (2020). Effect of salicylic acid foliar application on growth, glandular hairs and essential oil yield in *Salvia officinalis* L. grown under zinc stress. *Chemical and Biological Technologies in Agriculture*, 7, 1-11.

- Fathi, S., Kharazmi, M., & Najafian, S. (2019). Effects of salicylic acid foliar application on morphophysiological traits of purslane (*Portulaca oleracea* L.) under salinity stress conditions. *Journal of Plant Physiology and Breeding*, 9(2), 1-9.
- Fazeli, A., Zarei, B., & Tahmasebi, Z. (2017). The effect of salinity stress and salicylic acid on some physiological and biochemical traits of Black cumin (*Nigella sativa* L.). *Iranian Journal of Plant Biology*, 9(4), 69-84. (In Persian).
- Fu, H., & Yang, Y. (2023). How Plants Tolerate Salt Stress. *Curr. Issues Mol. Biol.* 45, 5914-5934.
- Ghasemian, S., Masoudian, N., Saeid Nematpour, F., & Safipour Afshar, A. (2021). Selenium nanoparticles stimulate growth, physiology, and gene expression to alleviate salt stress in *Melissa officinalis*. *Biologia*, 76(10), 2879-2888.
- Giannopolitis, C. N., & Ries, S. K. (1977) Superoxide Dismutases I. Occurrence in Higher Plants. *Plant Physiology*, 59, 309-314.
- González-García, M., Álvarez, J. C., Pérez, E. Z., Fernandez-Carriba, S., & López, J. G. (2021). Feasibility of a Brief Online Mindfulness and Compassion-Based Intervention to Promote Mental Health Among University Students During the COVID-19 Pandemic. *Mindfulness* (N Y), 12(7), 1685-1695.
- Gorni, P. H., Pacheco, A. C., Moro, A. L., Silva, J. F. A., Moreli, R.R., de Miranda, G. R., & da Silva, R. M. G. (2020). Salicylic acid foliar application increases biomass, nutrient assimilation, primary metabolites and essential oil content in *Achillea millefolium* L. *Scientia Horticulturae*, 270, 109436.
- Hameed, A., Ahmed, M. Z., Hussain, T., Aziz, I., Ahmad, N., Gul, B., & Nielsen, B. L. (2021). Effects of Salinity Stress on Chloroplast Structure and Function. *Cells*, 10(8), 2023.
- Hasanuzzaman, M., Bhuyan, M. B., Raza, A., Hawrylak-Nowak, B., Matraszek-Gawron, R., Al Mahmud, J., & Fujita, M. (2020). Selenium in plants: Boon or bane? *Environmental and Experimental Botany*, 178, 104170.
- Hosseinfard, M., Stefaniak, S., Ghorbani Javid, M., Soltani, E., Wojtyla, Ł., & Garnczarska, M. (2022). Contribution of exogenous proline to abiotic stresses tolerance in plants: a review. *International Journal of Molecular Sciences*, 23(9), 5186.
- Inbar, J., Abramsky, M., Cohen, D., & Chet, I. (1994). Plant growth enhancement and disease control by *Trichoderma harzianum* in vegetable seedlings grown under commercial conditions. *European Journal of Plant Pathology*, 100(5), 337-346.
- Jalil, S. U., & Ansari, M. I. (2019). Nanoparticles and abiotic stress tolerance in plants: synthesis, action, and signaling mechanisms. *Plant Signaling Molecules*, 549-561.
- Karimi, R., Ghabooli, M., Rahimi, J., & Amerian, M. (2020). Effects of foliar selenium application on some physiological and phytochemical parameters of *Vitis vinifera* L. cv. Sultana under salt stress. *Journal of Plant Nutrition*, 43(14), 2226-2242.
- Kaur, G., Tak, Y., & Asthir, B. (2022). Salicylic acid: A key signal molecule ameliorating plant stresses. *Cereal Research Communications*, 1-10.
- Kesawat, M. S., Satheesh, N., Kherawat, B. S., Kumar, A., Kim, H. U., Chung, S. M., & Kumar, M. (2023). Regulation of Reactive Oxygen Species during Salt Stress in Plants and Their Crosstalk with Other Signaling Molecules-Current Perspectives and Future Directions. *Plants (Basel)*, 12(4), 864.
- Khan, A., Khan, A. L., Muneer, S., Kim, Y. H., Al-Rawahi, A., & Al-Harrasi, A. (2019). Silicon and Salinity: Crosstalk in Crop-Mediated Stress Tolerance Mechanisms. *Frontiers in Plant Science*, 7(10), 1429.
- Khan, A. Z., Ding, X., Khan, S., Ayaz, T., Fidel, R., & Khan, M. A. (2020). Biochar efficacy for reducing heavy metals uptake by Cilantro (*Coriandrum sativum*) and spinach (*Spinacia oleracea*) to minimize human health risk. *Chemosphere*, 244, 125543.
- Lu, C., Li, L., Liu, X., Chen, M., Wan, S., & Li, G. (2023). Salt Stress Inhibits Photosynthesis and Destroys Chloroplast Structure by Downregulating Chloroplast Development-Related Genes in *Robinia pseudoacacia* Seedlings. *Plants*, 12, 1283.
- MacAdam, J. W., Nelson, C. J., & Sharp, R. E. (1992). Peroxidase activity in the leaf elongation zone of tall fescue. I. Spatial distribution of ionically bound peroxidase activity in genotypes differing in length of elongation zone. *Plant Physiology*, 99, 872-878.
- Memari-Tabrizi, E. F., Yousefpour-Dokhanieh, A., & Babashpour-Asl, M. (2021). Foliar-applied silicon nanoparticles mitigate cadmium stress through physio-chemical changes to improve growth, antioxidant capacity, and essential oil profile of summer savory (*Satureja hortensis* L.). *Plant Physiology and Biochemistry*, 165, 71-79.

- Mirzaie, M., Ladanmoghadam, A. R., Hakimi, L., & Danaee, E. (2020). Water stress modifies essential oil yield and composition, glandular trichomes and stomatal features of lemongrass (*Cymbopogon citratus*) inoculated with arbuscular mycorrhizal fungi. *Journal of Agricultural Science and Technology*, 22(6), 1575-1585.
- Mohammad, F., Wajid, M. A., & Bhat, M. A. (2019). Effect of Salicylic Acid Sprays on the Performance of Fenugreek Grown with Graded Levels of Salinity. *Haya: The Saudi Journal of Life Sciences*, 4, 346-354.
- Moradi, S., Sajedi, N. A., Madani, H., Gomarian, M., & Chavoshi, S. (2023). Integrated effects of nitrogen fertilizer, biochar, and salicylic acid on yield and fatty acid profile of six rapeseed cultivars. *Journal of Soil Science and Plant Nutrition*, 23(1), 380-397.
- Mousavi, S.A., Roosta, H.R., Esmailzadeh, M., & Eshghi, S. (2022). Alleviating the adverse effects of salinity and alkalinity stresses on some physiological traits by selenium and silicon foliar applications on cucumber (*Cucumis sativus* L.) plants. *Journal of Plant Nutrition*, 46(4), 556-573.
- Nikbakht, J., Mohammadi, E., & Barzegar, T. (2020). Effect of salicylic acid foliar application under deficit irrigation conditions on yield and water use efficiency in Cucumber (*Cucumis sativus* cv. Kish F1). *Iranian Journal of Soil and Water Research*, 51(3), 553-561. (In Persian).
- Oraei, M., Gohari, G., Panahirad, S., Zareei, E., & Zaare-Nahandi, F. (2019). Effect of salicylic acid foliar application on *Vitis vinifera* L. cv. 'sultana'under salinity stress. *Acta Scientiarum Polonorum Hortorum Cultus*, 18(2), 159-169.
- Ouchikh, O., Chahed, T., Ksouri, R., Taarit, M. B., Faleh, H., Abdelly, C., & Marzouk, B. (2011). The effects of extraction method on the measured tocopherol level and antioxidant activity of *L. nobilis* vegetative organs. *Journal of Food Composition and Analysis*, 24(1), 103-110.
- Parihar, P., Singh, S., Singh, R., Singh, V. P., & Prasad, S. M. (2015). Effect of salinity stress on plants and its tolerance strategies: a review. *Environmental Science and Pollution Research*, 22(6), 4056-4075.
- Pourebrahimi, M., Eshghi, S., Ramezanian, A., & Faghih, S. (2023). Selenium and Hydrogen Sulfide Mitigate the Adverse Effects of Salinity on Growth, Yield, and Mineral Nutrient Status in Strawberry. *Journal of Soil Science and Plant Nutrition*, 23, 4218-4232.
- Radwan, A. M., Ahmed, E. A., & Donia, A. M. et al. (2023). Priming of *Citrullus lanatus* var. *Colocynthoides* seeds in seaweed extract improved seed germination, plant growth and performance under salinity conditions. *Scientific Reports*, 13, 11884.
- Rasheed, F., Anjum, N. A., Masood, A., Sofo, A., & Khan, N.A. (2020). The key roles of salicylic acid and sulfur in plant salinity stress tolerance. *Journal of Plant Growth Regulation*, 1-14.
- Ritchie, S. W., Nguyen, H. T., & Holaday, A. S. (1990). Leaf water content and gas-exchange parameters of two wheat genotypes differing in drought resistance. *Crop Science*, 30(1), 105-111.
- Rohani, N., Daneshmand, F., Vaziri, A., Mahmoudi, M., & Saber-Mahan, F. (2019). Growth and some physiological characteristics of *Pistacia vera* L. cv Ahmad Aghaei in response to cadmium stress and *Glomus mosseae* symbiosis. *South African Journal of Botany*, 124, 499-507.
- Shalaby, T. A., Abd-Alkarim, E., El-Aidy, F., Hamed, E. S., Sharaf-Eldin, M., Taha, N., El-Ramady, H., Bayoumi, Y., & Dos Reis, A. R. (2021). Nano-selenium, silicon and H₂O₂ boost growth and productivity of cucumber under combined salinity and heat stress. *Ecotoxicology and Environmental Safety*, 212, 111962.
- Silva, J. M., da Silva Júnior, G. B., Bonifácio, A., Dutra, A. F., de Mello Prado, R., de Alcântara Neto, F., & de Sousa, R. S. (2023). Exogenous salicylic acid alleviates water stress in watermelon plants. *Annals of Applied Biology*, 182(1), 121-130.
- Souri, M. K., & Tohidloo, G. (2019). Effectiveness of different methods of salicylic acid application on growth characteristics of tomato seedlings under salinity. *Chemical and Biological Technologies in Agriculture*, 6(1), 1-7.
- Subramanyam, K., Du Laing, G., & Van Damme, E. J. (2019). Sodium selenate treatment using a combination of seed priming and foliar spray alleviates salinity stress in rice. *Frontiers in Plant Science*, 10, 116.
- Tavakoli, S., Enteshari, S., & Yousefifard, M. (2020). Investigation of the effect of selenium on growth, antioxidant capacity and secondary metabolites in *Melissa officinalis*. *Iranian Journal of Plant Physiology*, 10, 3125-3134.
- Tufail, B., Ashraf, K., Abbasi, A., Ali, H. M., Sultan, K., Munir, T., & Zaman, Q. (2023). Effect of Selenium on Growth, Physio-Biochemical and Yield Traits of Lettuce under Limited Water Regimes. *Sustainability*, 15(8), 6804.

- Tyub, S., Dar, S. A., Lone, I. M., Mir, A.H., & Kamili, A. N. (2021). A robust in-vitro protocol for shoot multiplication of *Echinacea angustifolia*. *Current Plant Biology*, 28, 100221.
- Wungrampha, S., Joshi, R., Singla-Pareek, S., & Pareek, A. (2018). Photosynthesis and salinity: are they mutually exclusive? *Photosynthetica*, 56, 366-381.
- Xuan, T. D., Huong, C. T., Quan, N. V., Anh, L. H., Khanh, T. D., & Rayee, R. (2022). Improvement of Salinity Tolerance in Rice Seedlings by Exogenous Magnesium Sulfate Application. *Soil Systems*, 6(3), 69.
- Yan, G., Fan, X., Peng, M., Yin, C., Xiao, Z., & Liang, Y. (2020) Silicon Improves Rice Salinity Resistance by Alleviating Ionic Toxicity and Osmotic Constraint in an Organ-Specific Pattern. *Frontiers in Plant Science*, 11, 260.
- Yang, H., Fang, R., Luo, L., Yang, W., Huang, Q., Yang, C., Hui, W., Gong, W., & Wang, J. (2023) Uncovering the mechanisms of salicylic acid-mediated abiotic stress tolerance in horticultural crops. *Frontiers in Plant Science*, 14, 1226041.
- Yu, D., Yuan, Y., Jiang, L., Tai, Y., Yang, X., Hu, F., & Xie, Z. (2013). Anti-inflammatory effects of essential oil in *Echinacea purpurea* L. *Pakistan Journal of Pharmaceutical Sciences*, 26(2), 403-8.
- Zare, F., Khorasaninejad, S., & Hemmati, K. (2018). The effect of silicon on some morpho-physiological and phytochemical traits of Purple Coneflower (*Echinacea purpurea* L.) under salinity stress. *Iranian Journal of Plant Biology*, 10(3), 55-68. (In Persian).
- Zhang, M., Li, X., Wang, X., Feng, J., & Zhu, S. (2023) Potassium fulvic acid alleviates salt stress of citrus by regulating rhizosphere microbial community, osmotic substances and enzyme activities. *Frontiers in Plant Science*, 14, 1161469.
- Zulfiqar, F., & Ashraf, M. (2021). Nanoparticles potentially mediate salt stress tolerance in plants. *Plant Physiology and Biochemistry*, 160, 257-268.